

# FI-Praktikum Teil Stassen, 26.02.- 01.03.2018

**Montag, 26.02.:** Vorbesprechung (9:00 – 11:00)

<b>Dienstag 27.02.</b>	PCR ansetzen (Genotypisierung)	Pause	PCR: DNA-Elektrophorese
	<b>Mastzell-Stimulation</b> Zellen zählen und aktivieren: ø, LPS, Iono, Iono+LPS für ELISA + Western Blot ø, LPS, Iono, Iono+LPS für qRT-PCR		<b>IL-9 ELISA</b> Platten mit Erst-Antikörper beschichten
	<b>Beladung von Mastzellen mit IgE</b> <b>Mastzelltransfektion (Elektroporation)</b>		<b>RNA-Isolierung, cDNA-Synthese</b> (für qRT-PCR)
			<b>Transfizierte Mastzellen aktivieren</b> (ø, LPS, Iono, Iono+LPS)
<b>Mittwoch</b> <u>ELISA:</u> <u>Western:</u> <u>qRT-PCR:</u> <u>Reportergenassay:</u>	Überstände → Zweitantikörper	→ Strept.-HPO → Substrat → Messung → Blot → Blockieren → Anti-p38 → PCR	
	Proteinextrakte und Proteinbestimmung → Berechnungen → Elektrophorese		
	Zellextrakte machen und einfrieren		
<b>Donnerstag 01.03.</b>	9:00 Uhr: <b>Degranulationstest</b> (IgE Kreuzvernetzung) → <b>qRT-PCR:</b> Auswertung → <b>Western:</b> Sekundärantikörper / Substrat → <b>ELISA:</b> Auswertung → <b>Reportergenassay:</b> Luciferasemessung	Pause	<b>Vorlesung: Allergien</b>

## Vorbesprechung des praktischen Teils

- Entwicklung von Mastzellen, Mastzellsubtypen und Mastzellaktivierung
- Degranulationstest und Nachweis der  $\beta$ -Hexosaminidase
- Prinzip des Sandwich – ELISA zum Nachweis von IL-9
- Prinzip des Western – Blots zum Nachweis der MAP-Kinase p38
- Rekombinationen in B- u. T-Zellen, Rekombinase und „recombination activating gene“
- PCR zum Nachweis eines „RAG-2 knock out“
- qRT-PCR zur relativen Quantifizierung der IL-6 mRNA Expression in aktivierten Mastzellen
- Reportergenassay zur Messung der NF- $\kappa$ B Aktivität

# Mast cells are derived from mast cell-committed progenitors in the marrow and mature in the tissues

**Mast cell-committed progenitor (MCP) in the marrow:**

Lyn<sup>-</sup> c-Kit<sup>+</sup> Sca-1<sup>-</sup> Ly6c<sup>-</sup> FcεRIα<sup>-</sup> CD27<sup>-</sup> β7<sup>+</sup> T1/ST2<sup>+</sup>

FETAL BLOOD

pro-mastocyte:

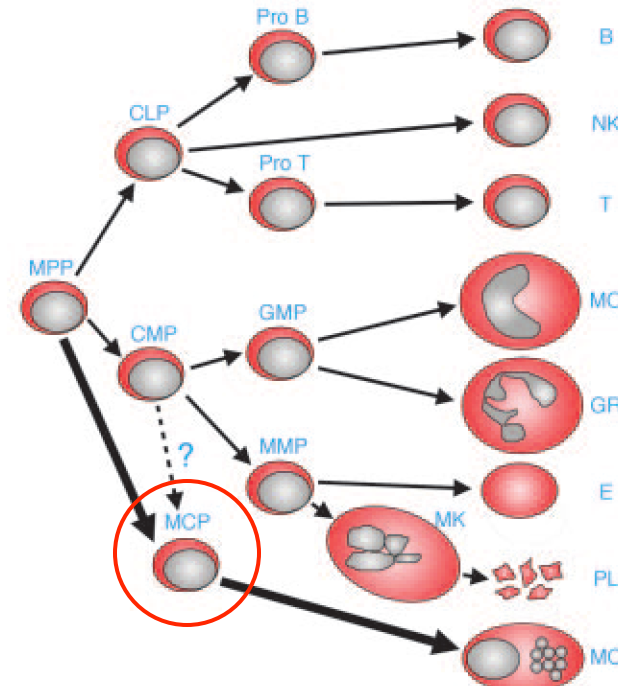
Thy-1<sup>low</sup>, c-kit<sup>high</sup>, FcεRI<sup>-</sup>

HOMING

TISSUE

Maturation:

CTMC, MMC



MPP = Multipotential progenitor

CMP = Common myeloid progenitor

MCP = Mast cell-committed progenitor

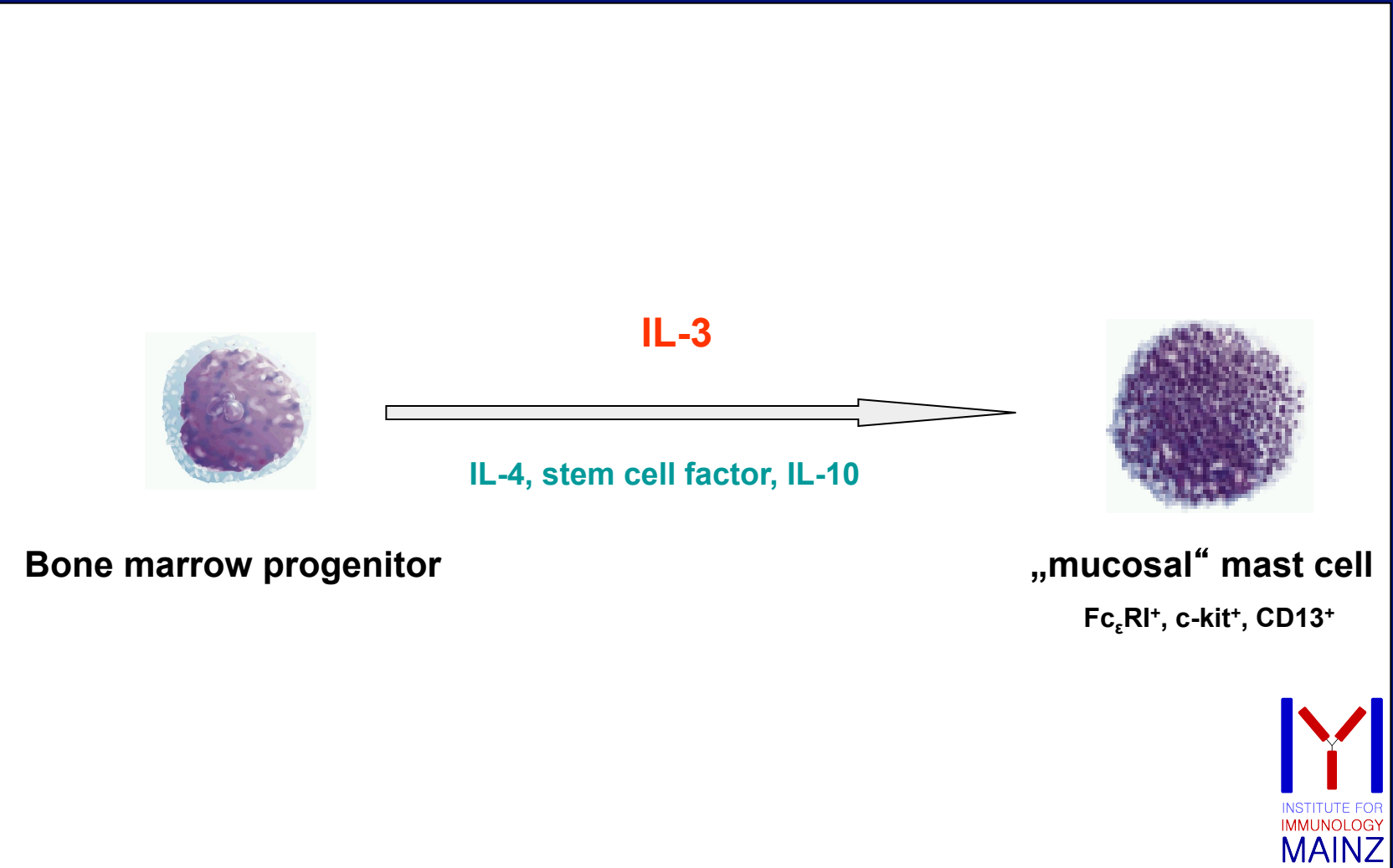
# Characteristics of predominant murine and human mast cell subsets

	Biogenic amine	Protease	Proteoglycan	Location
<b>mouse</b>				
<b>Mucosal (MMC)</b>	Histamine Serotonin	MMCP-1,-2	Chondroitin sulfate	intestinal lamina propria, lung
<b>Connective tissue (CTMC)</b>	Histamine Serotonin	MMCP-3,-4,-5,-6 Carboxypeptidase	Heparin (a)	peritoneal cavity, skin
<hr/>				
<b>human<sup>(b)</sup></b>				
<b>MC<sub>T</sub></b>	Histamine	Tryptase Heparin	Chondroitin sulfate Heparin	lung, intestinal mucosa, nasal mucosa
<b>MC<sub>TC</sub></b>	Histamine	Tryptase Chymase Carboxypeptidase Cathepsin G	chondroitin sulfate Heparin	intestinal submucosa skin

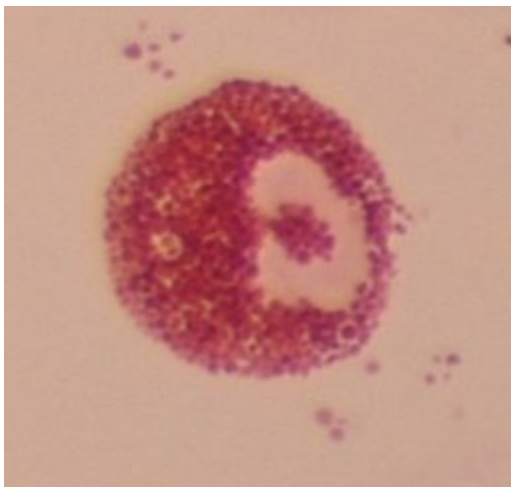
(a) Staining with safranin reflects the presence of heparin in secretory granules.

(b) MC<sub>T</sub> corresponds most closely to murine mucosal mast cells (MMC), MC<sub>TC</sub> to connective tissue mast cells (CTMC).

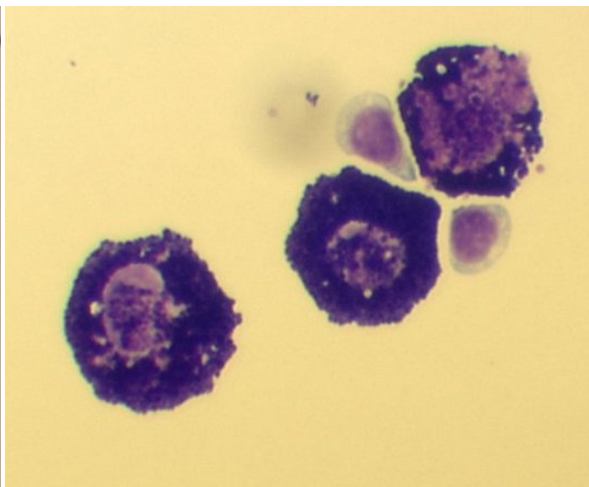
# The tools to study mast cells: Murine bone marrow-derived mast cells (BMMC) as model *in vitro*



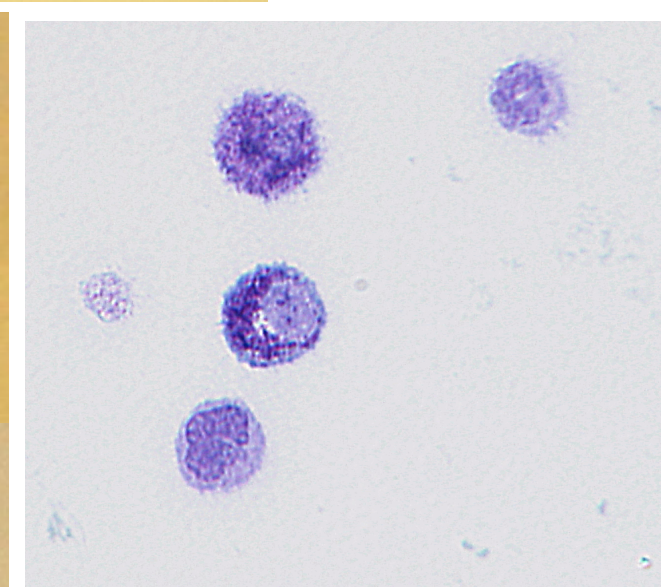
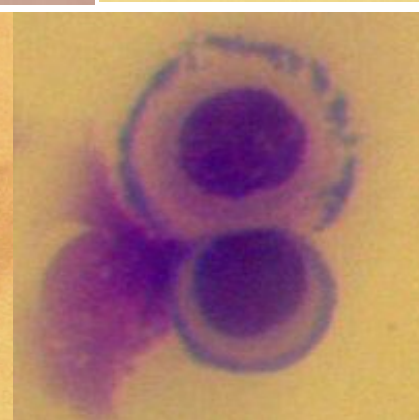
**Peritoneal CTMC** (Safranin)



**CTMC** (May-Giemsa-Grünwald)

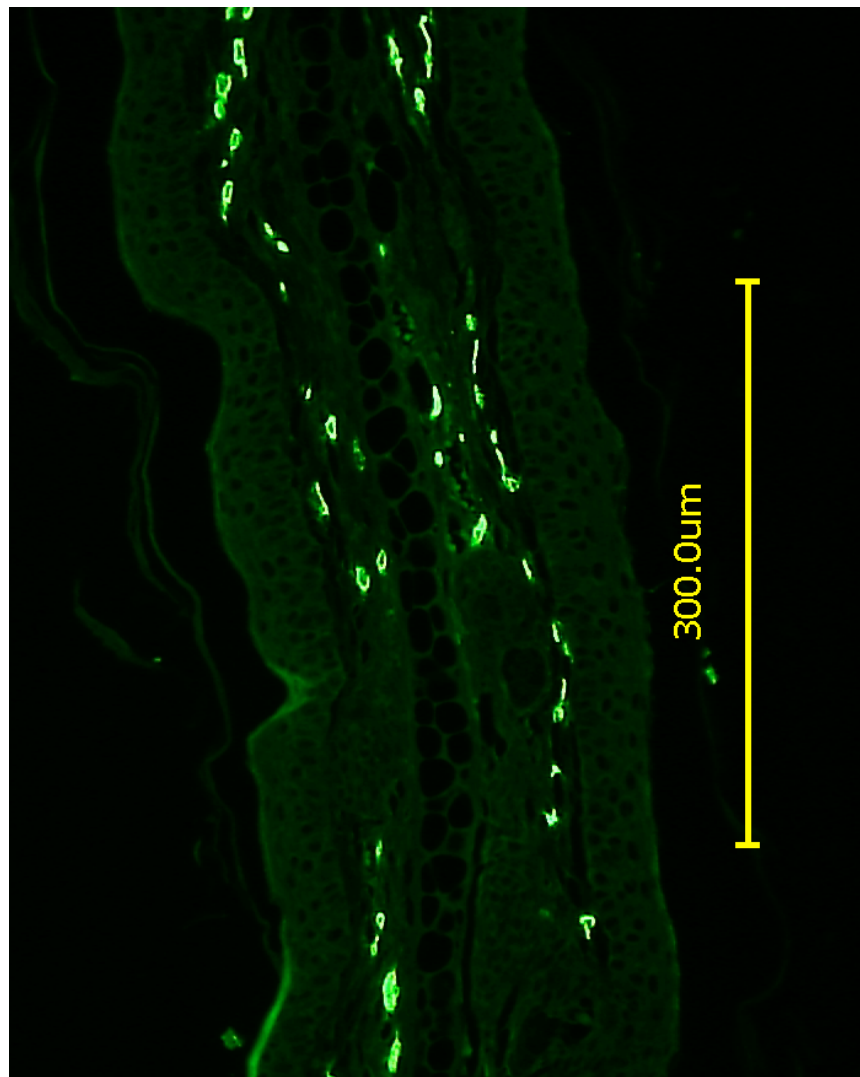


*Dermal  
CTMC*

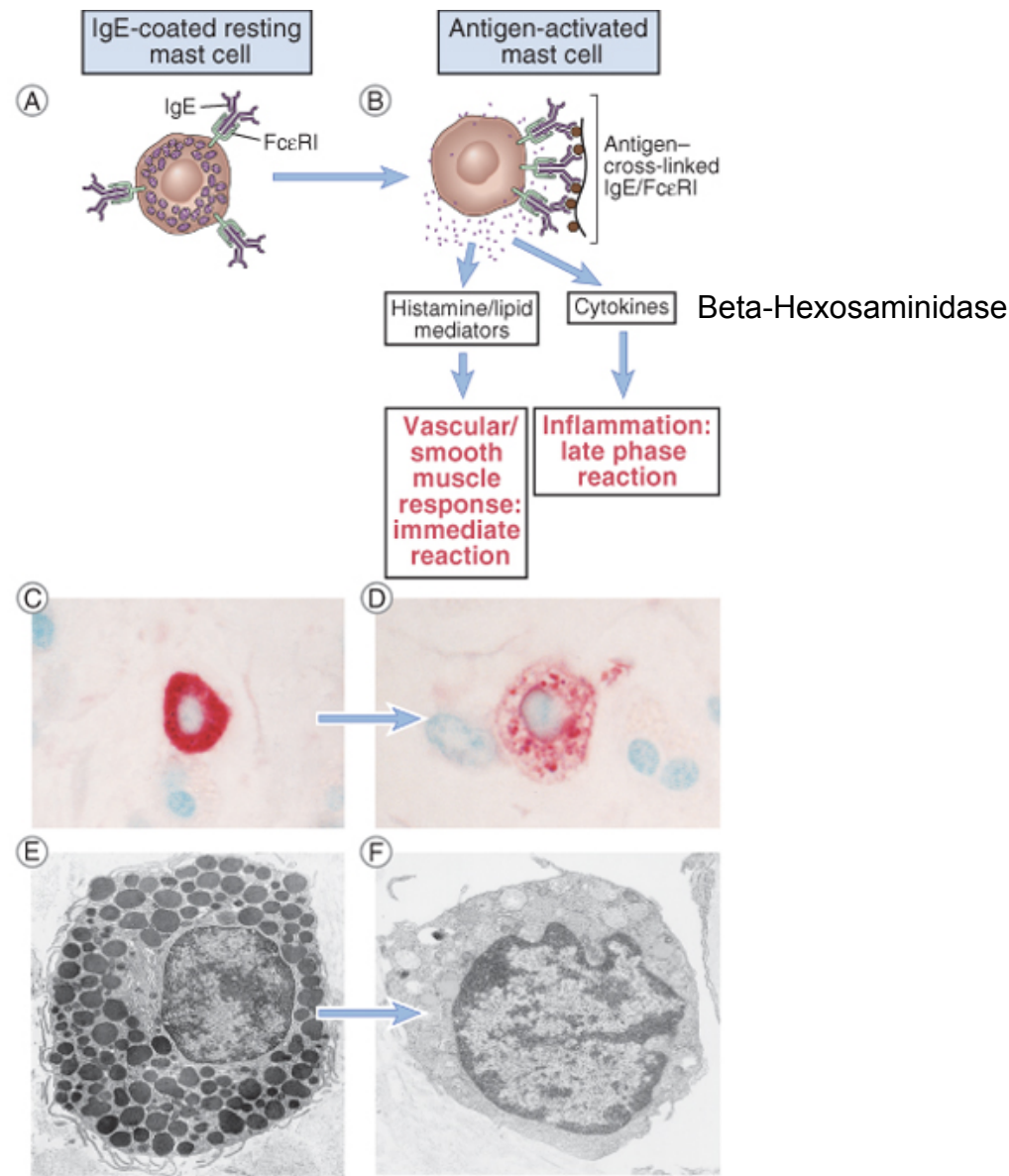


**BMMC** (May-Giemsa-Grünwald)

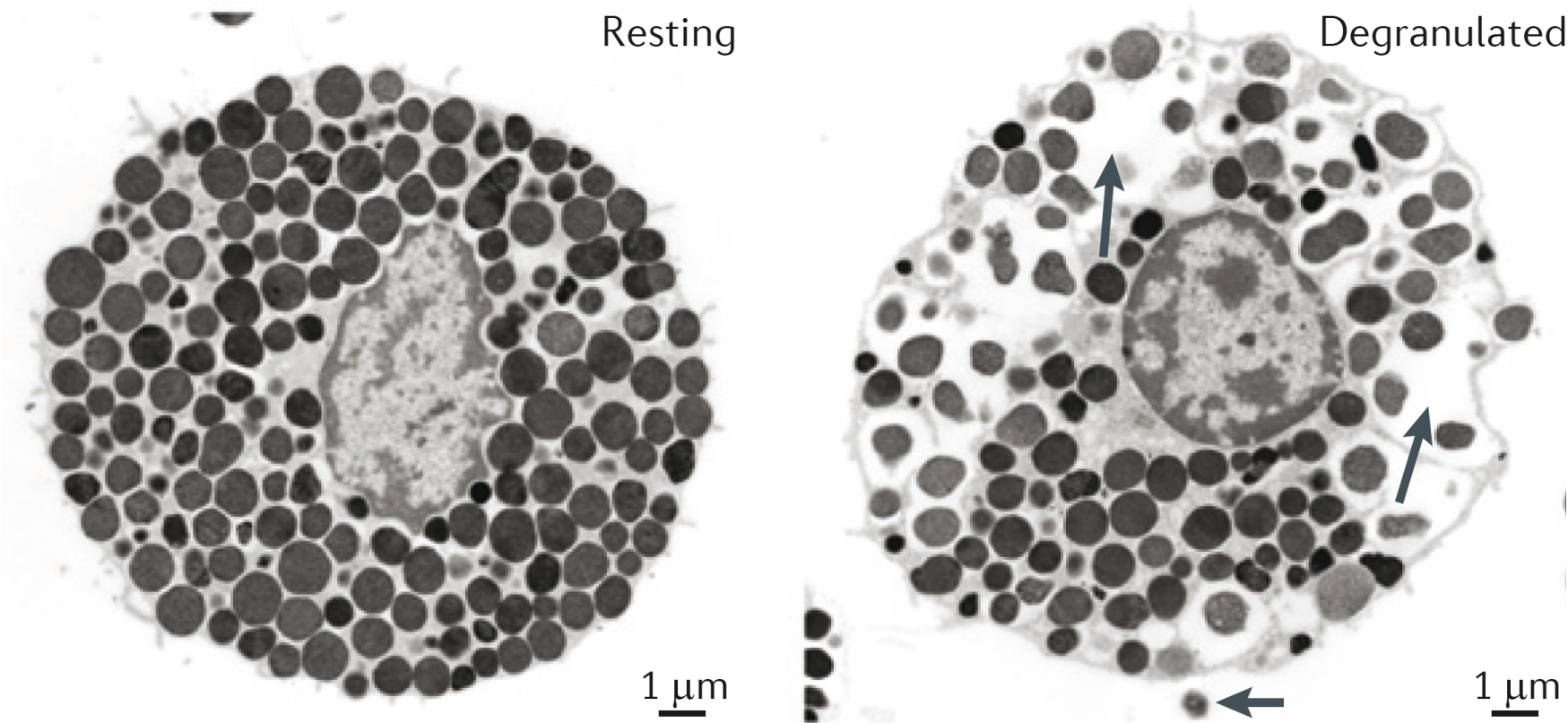
## Avidin-Alexa-488 Färbung eines Ohrschnittes



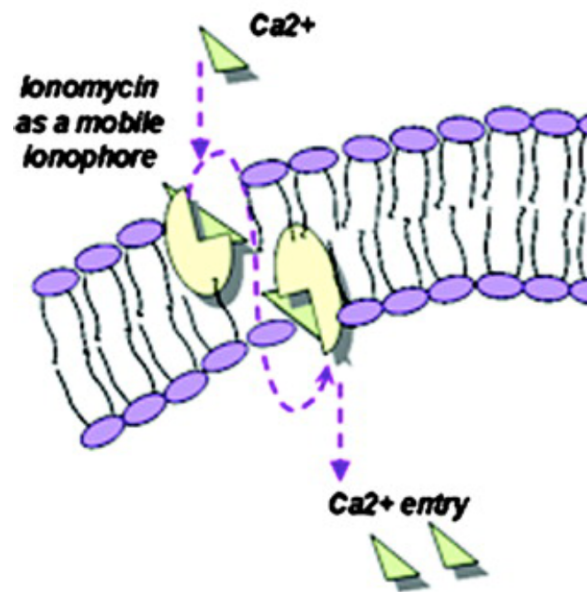
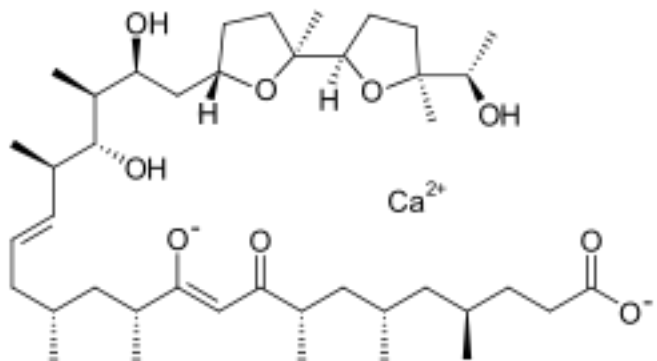
## Mastzell-Degranulation

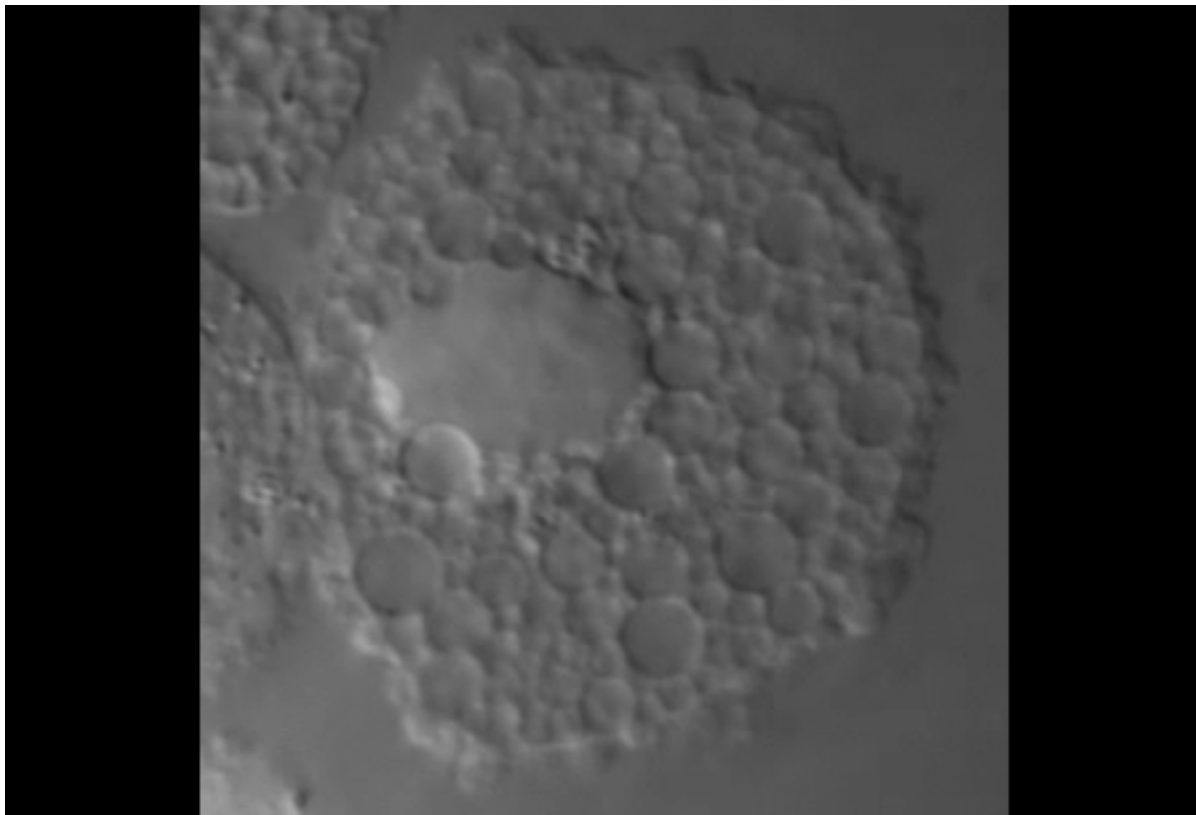


# Anaphylaktische Degranulation: Durch Fusion von Granula bilden sich Kanäle Membranfreie Granulamatrix wird exocytiert

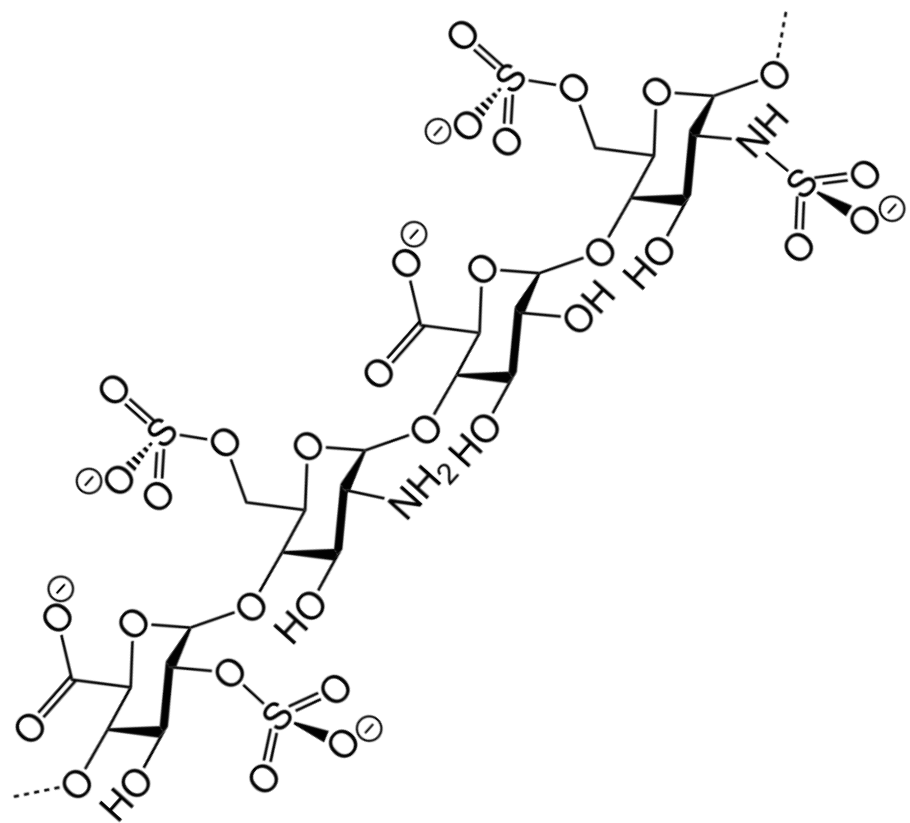
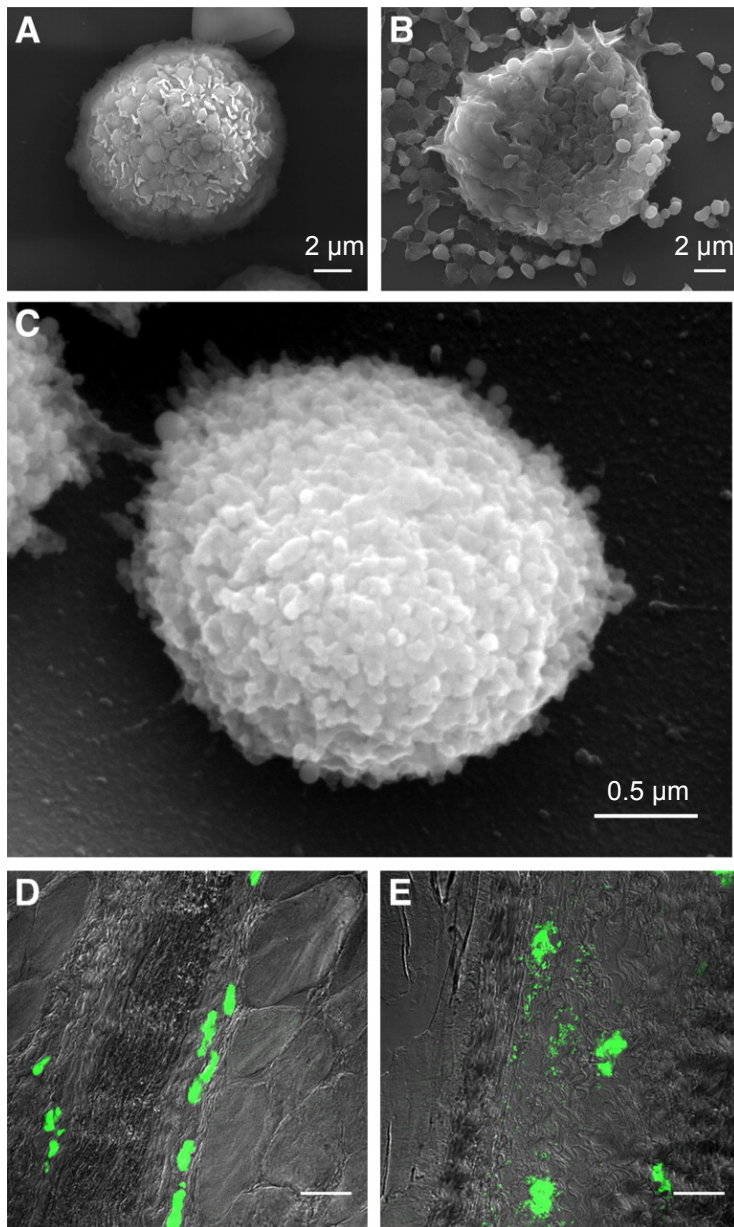


Ionomycin (aus *Streptomyces conglobatus*) ist ein mobiler Träger („Ionophor“) zum Transport von  $\text{Ca}^{2+}$  und anderer bivalenter Ionen über biologische Membranen

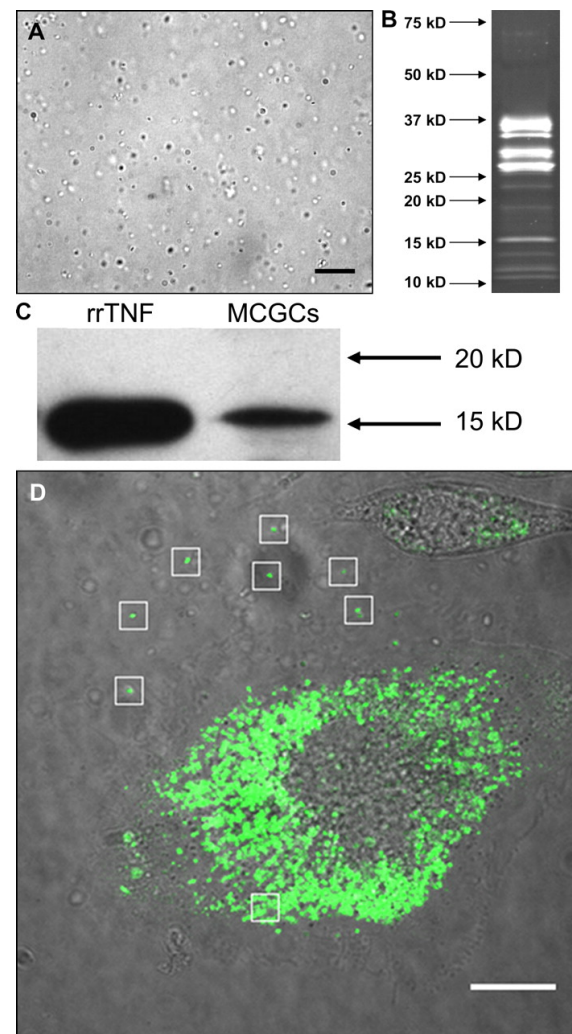




**Aktivierte Mastzellen sezernieren heparinhaltige, membranlose und unlösliche Partikel**



## Von Mastzellen sezernierte Partikel enthalten TNF



Gereinigte Partikel

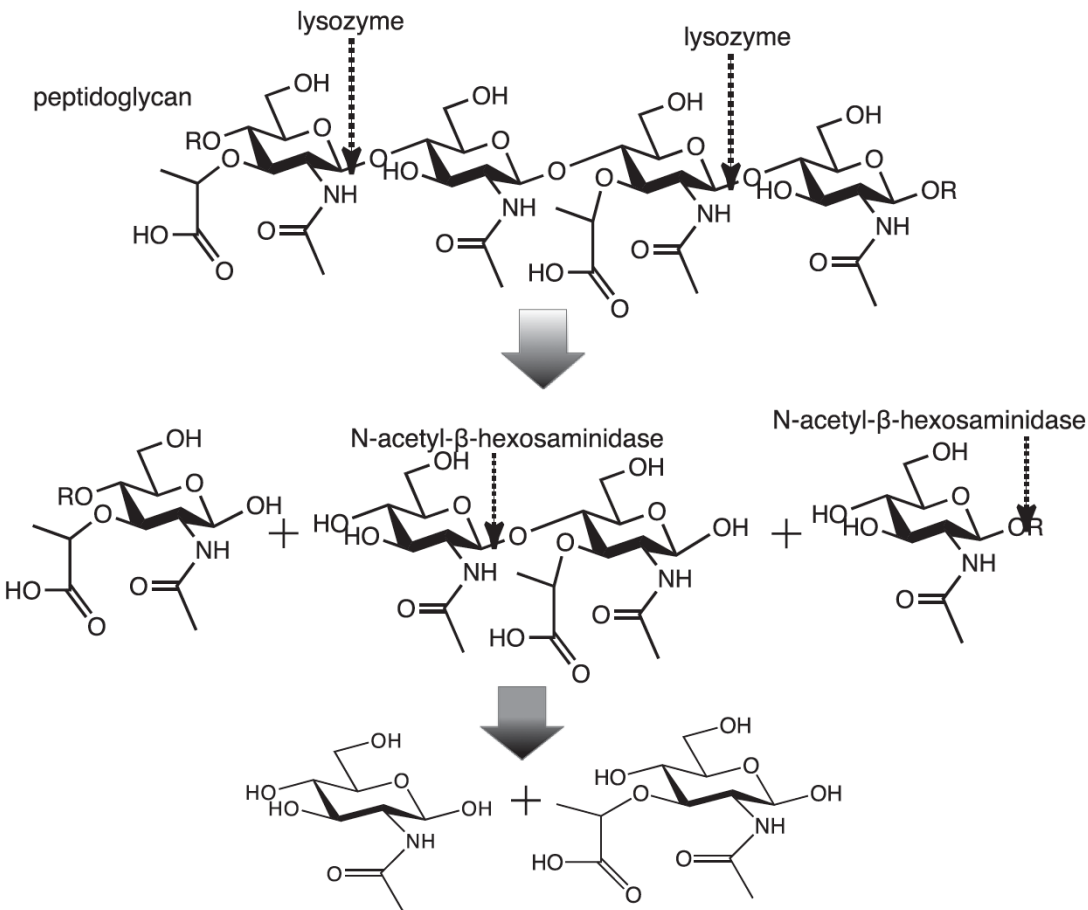
TNF Nachweis im Western Blot

Expression eines TNF-GFP  
Fusionsproteins

Kunder C A et al. J Exp Med 2009;206:2455-2467

# Eigenschaften der beta-Hexosaminidase

**FIGURE 7.** Proposed scheme of the cleavage of PGN by lysozyme and  $\beta$ -hexosaminidase. Lysozyme first nicks the endogenous  $\beta$ -1,4 bond between *N*-acetylglucosamine and *N*-acetylmuramic acid. At this stage,  $\beta$ -hexosaminidase cannot attack the  $\beta$ -1,4 bond because it is an exo-type enzyme. Next, the generated disaccharide consisting of *N*-acetylmuramic acid and *N*-acetylglucosamine is digested by  $\beta$ -hexosaminidase. As a consequence, these monomeric sugars are generated and PGN is completely digested.



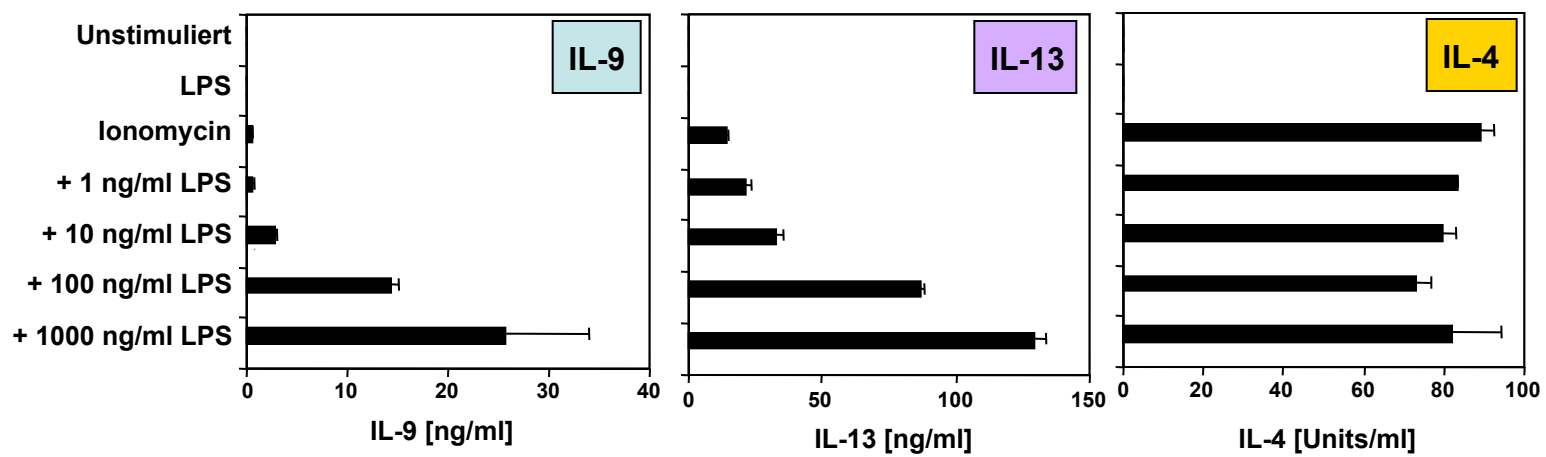
Farbreaktion in vitro:

p-Nitrophenyl-Acetyl-D-Glucosamin



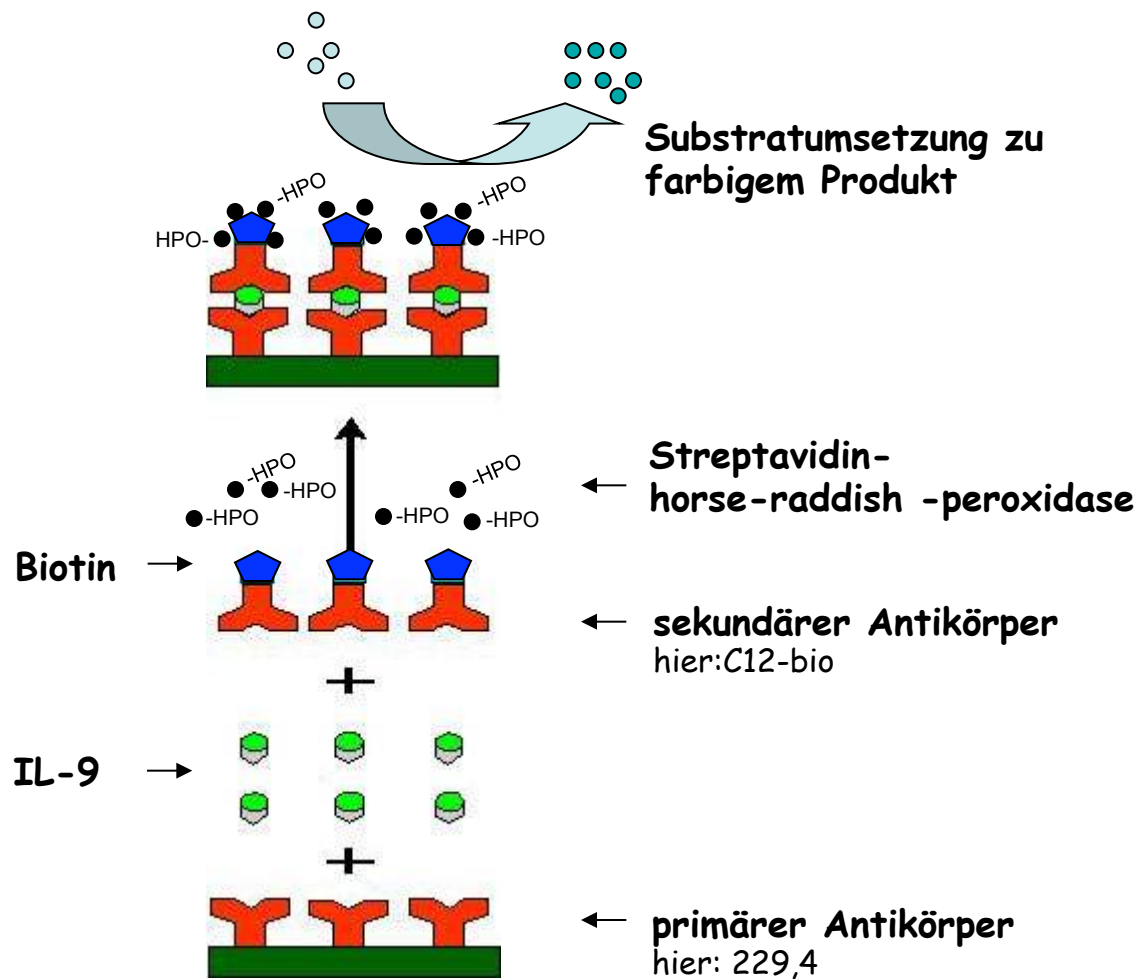
N-Acetyl-D-Glucosamin + p-Nitrophenol

## Mastzell-spezifische Regulation der Produktion von Th2-Cytokinen: LPS als Ko-Stimulus

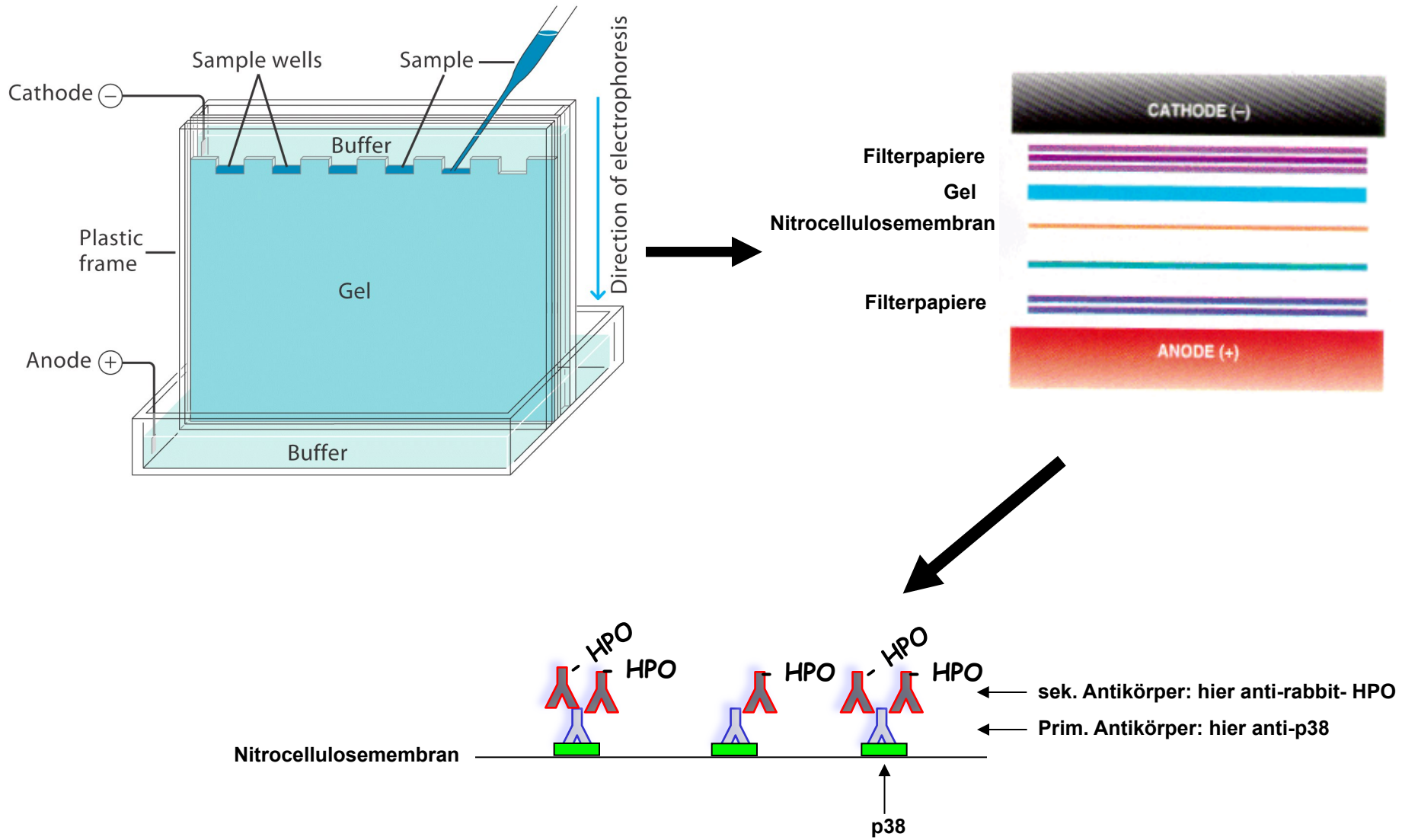


# Sandwich-ELISA

(„Enzyme-linked immunosorbent assay“)



# Western Blot: Übersichtsschema



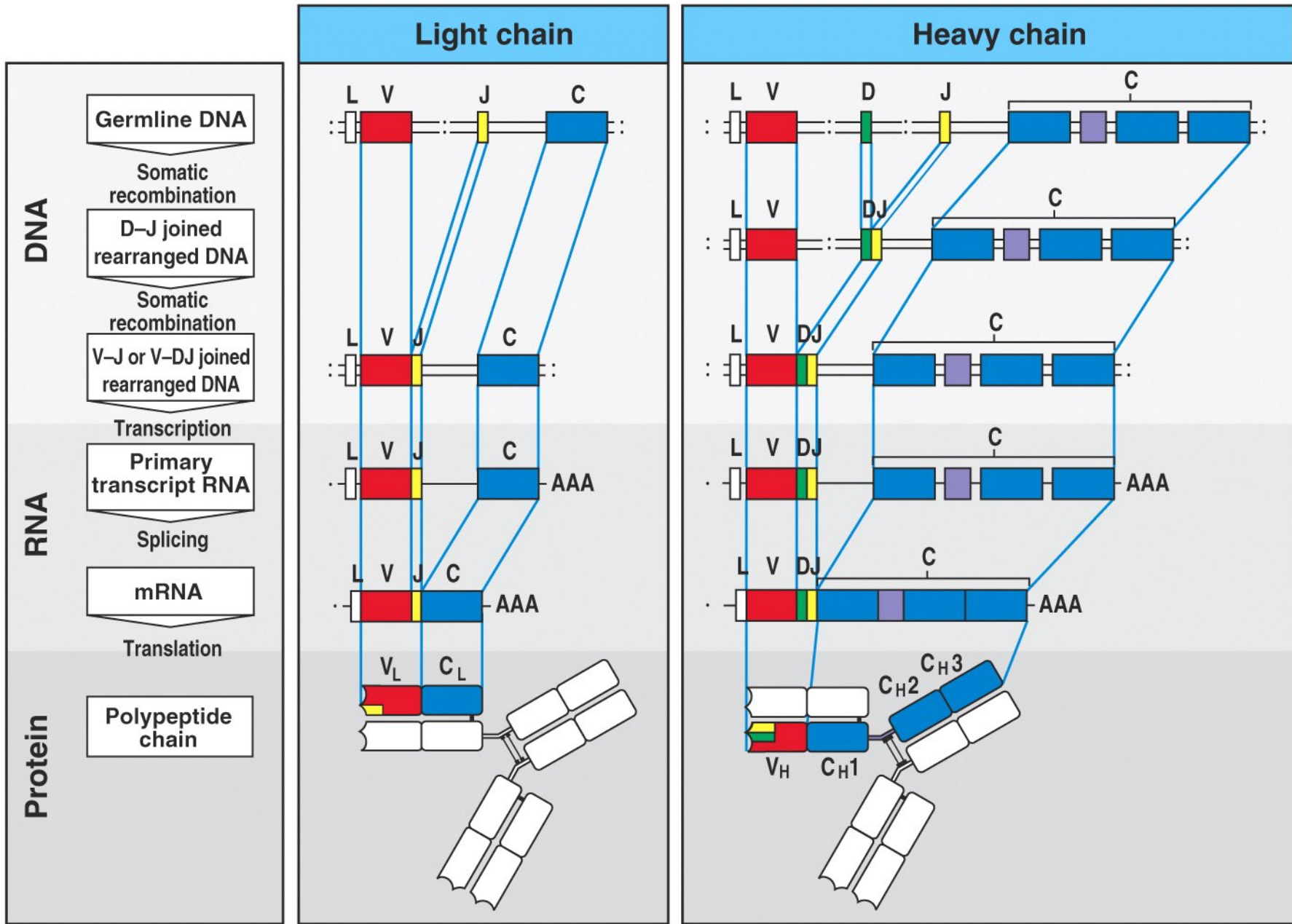


Figure 4-2 Immunobiology, 6/e. (© Garland Science 2005)

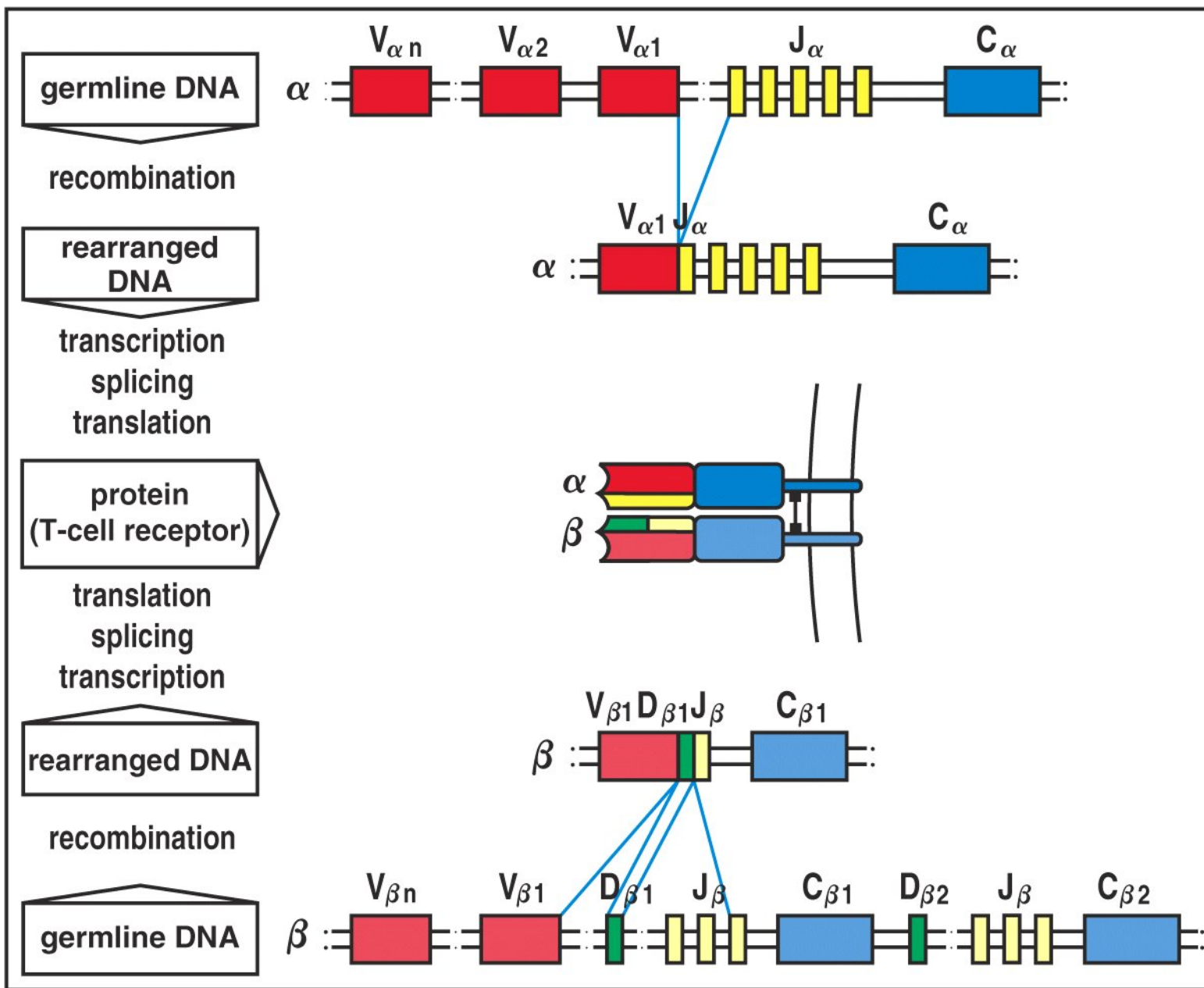
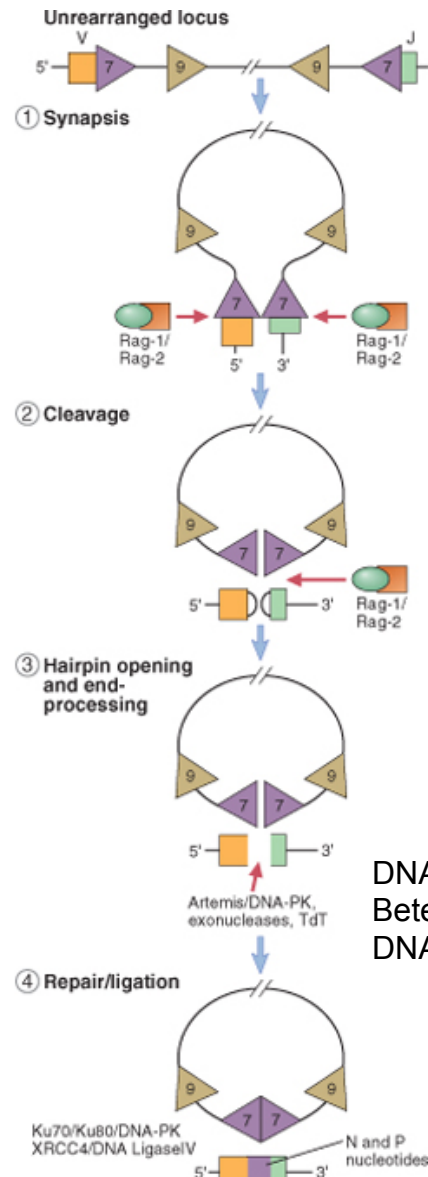


Figure 4-12 Immunobiology, 6/e. (© Garland Science 2005)

## „recombination-activating gene“ 1 and 2 (Rag-1, Rag-2) bilden die V(D)J Rekombinase



DNA-PK: DNA-abhängige Proteinkinase  
Beteiligt an Reparatur des Doppelstrangbruches  
DNA-PK Defekt führt zu einer Form von SCID

# PCR-Nachweis der RAG-2 Defizienz (knock out)

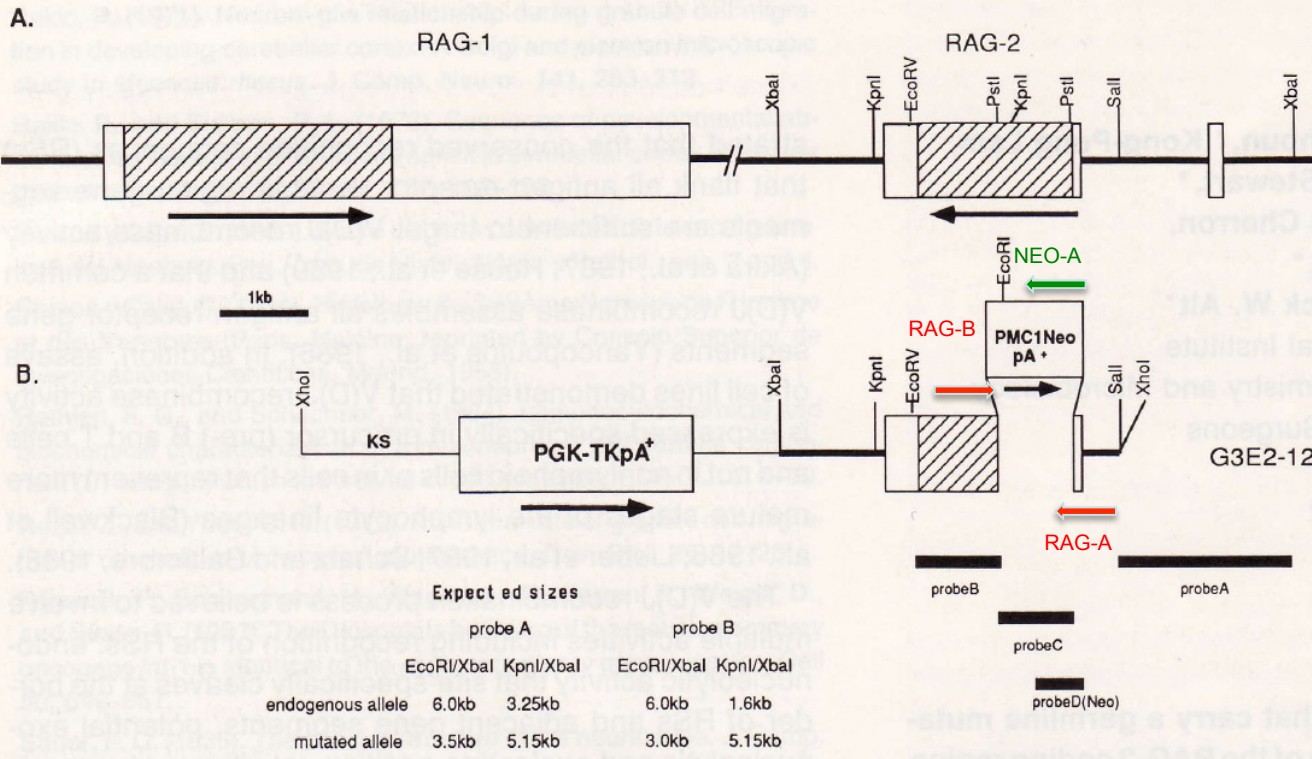


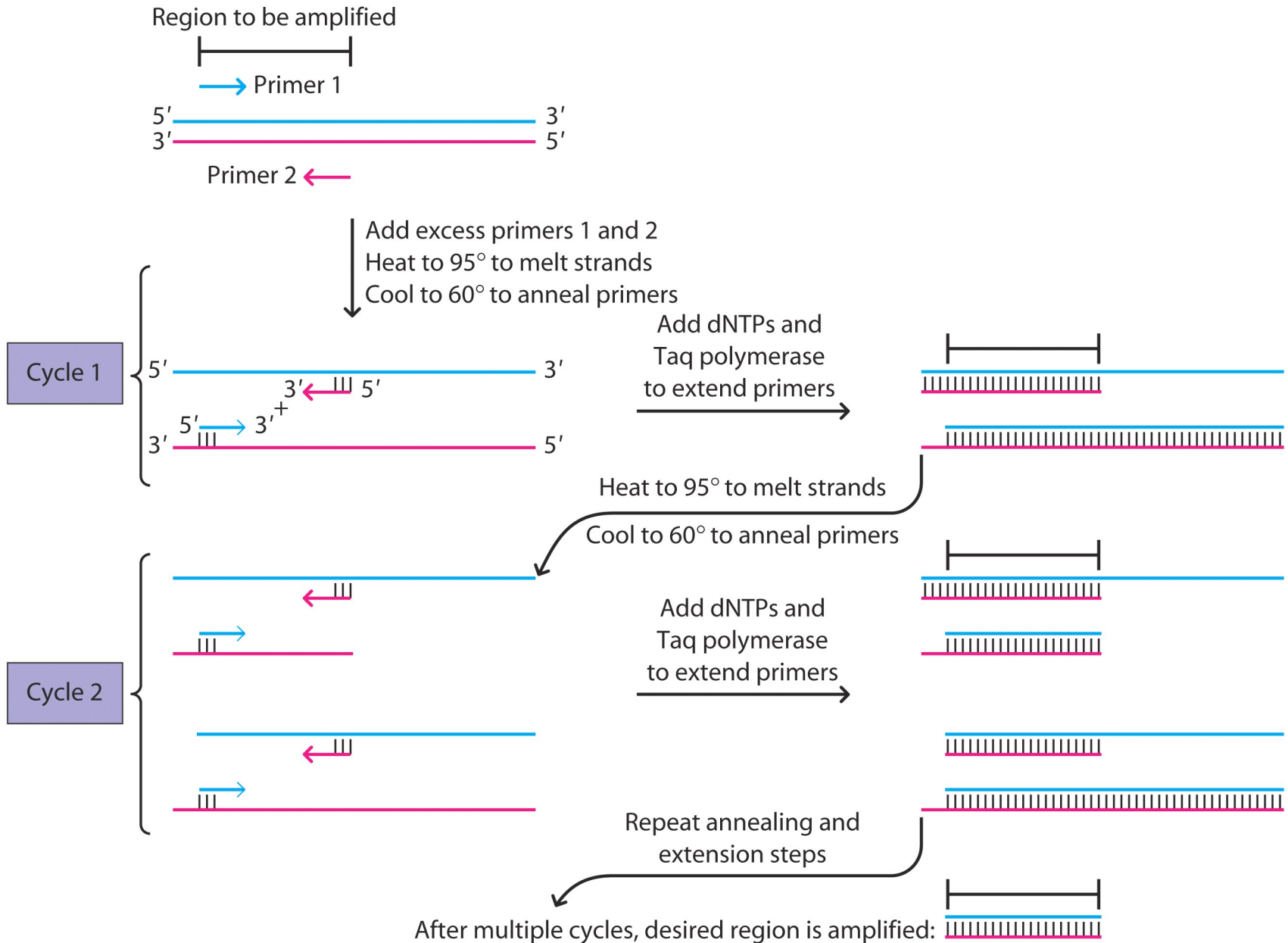
Figure 1. The Endogenous RAG Locus and the Targeting Construct for Homologous Recombination

(A) Partial restriction endonuclease map of the RAG-2 locus. Bold lines represent introns, open boxes show exons of RAG genes, and hatched boxes indicate coding regions of these genes. Arrows represent transcriptional orientation of the RAG genes.

(B) Design of the RAG-2 targeting construct, G3E2-12. This vector was constructed as described in the Experimental Procedures. The PstI–PstI portion of the RAG-2 coding region was replaced with a 1.1 kb PMC1neo/poly(A)<sup>+</sup> fragment (PMC1NeopA<sup>+</sup>). Thin lines represent plasmid sequences of KS pBluescript. Arrows indicate the transcriptional orientation of the HSV-tk and neo genes. Probes used in this study are shown under the targeting construct: probe A, Sall–XbaI 5' RAG-2 fragment; probe B, EcoRV–PstI RAG-2 fragment; probe C, PstI–PstI RAG-2 fragment; probe D, PstI–BamHI neo gene fragment from PMC1neo/poly(A)<sup>+</sup>. The expected sizes of restriction fragments detected by probes A and B are shown.

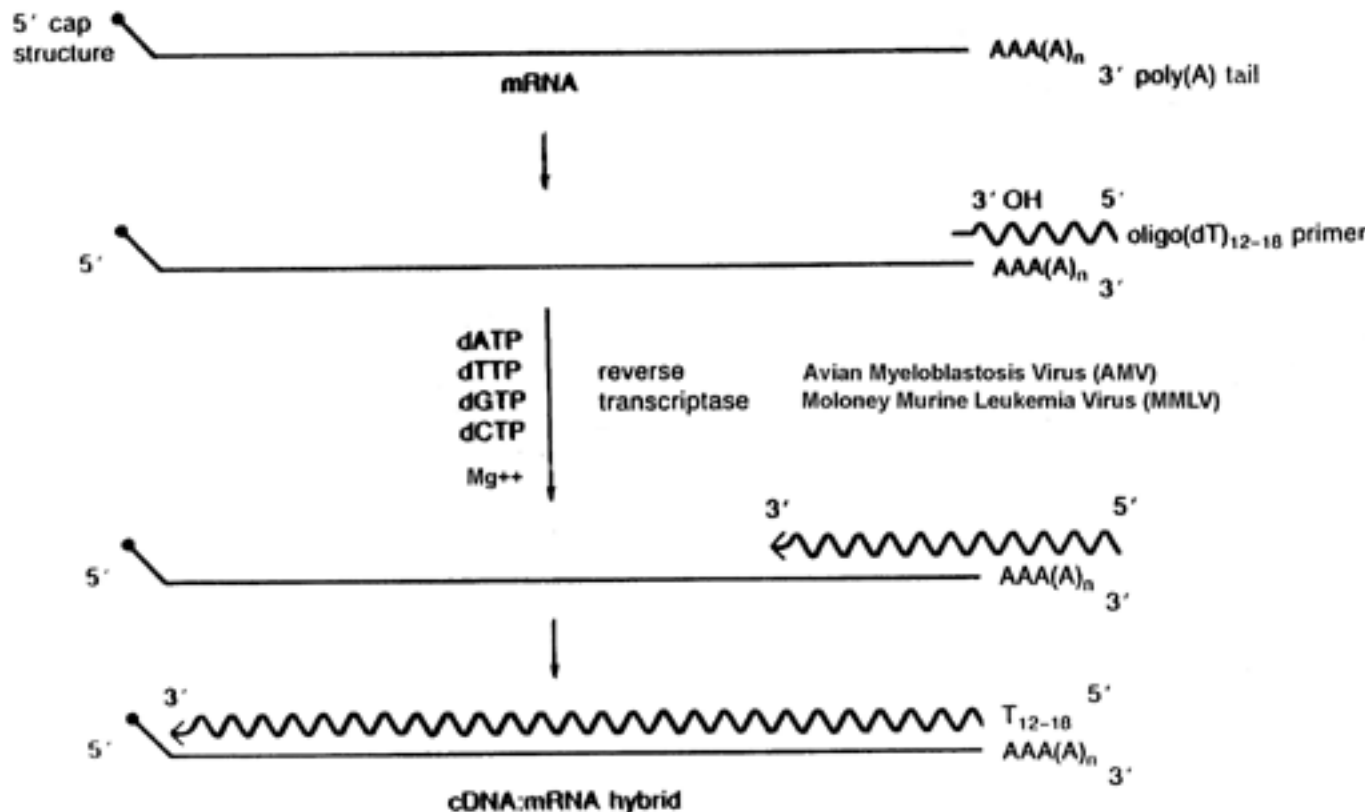
PGK-TKpA<sup>+</sup> : Phosphoglycerokinase-Promoter steuert Expression der Herpes Simplex Virus Thymidinkinase

# Prinzip der Polymerase Kettenreaktion



# RT-PCR: Nachweis von mRNA nach Umschrift in cDNA („copy“)

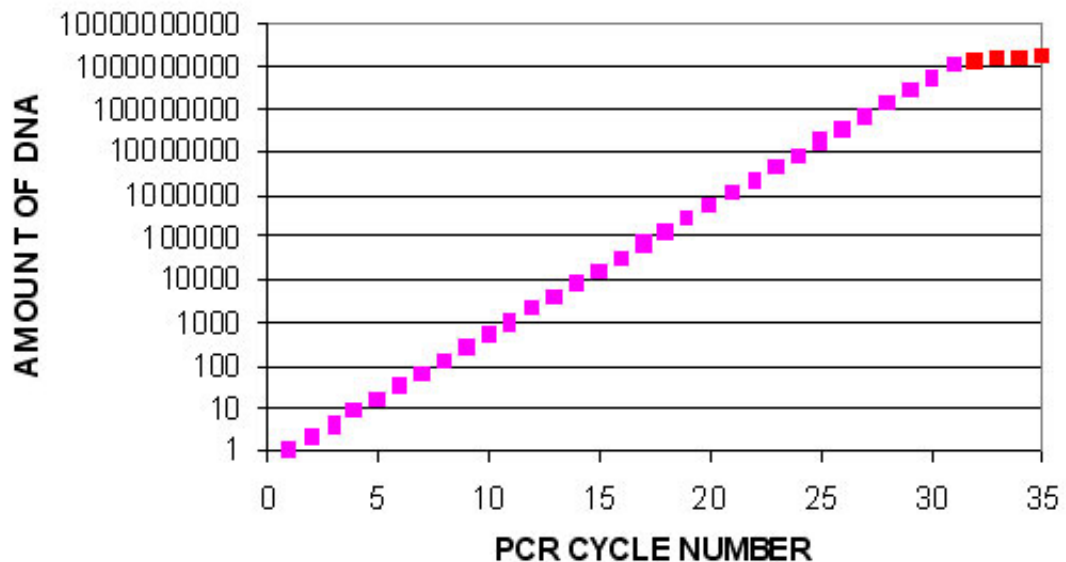
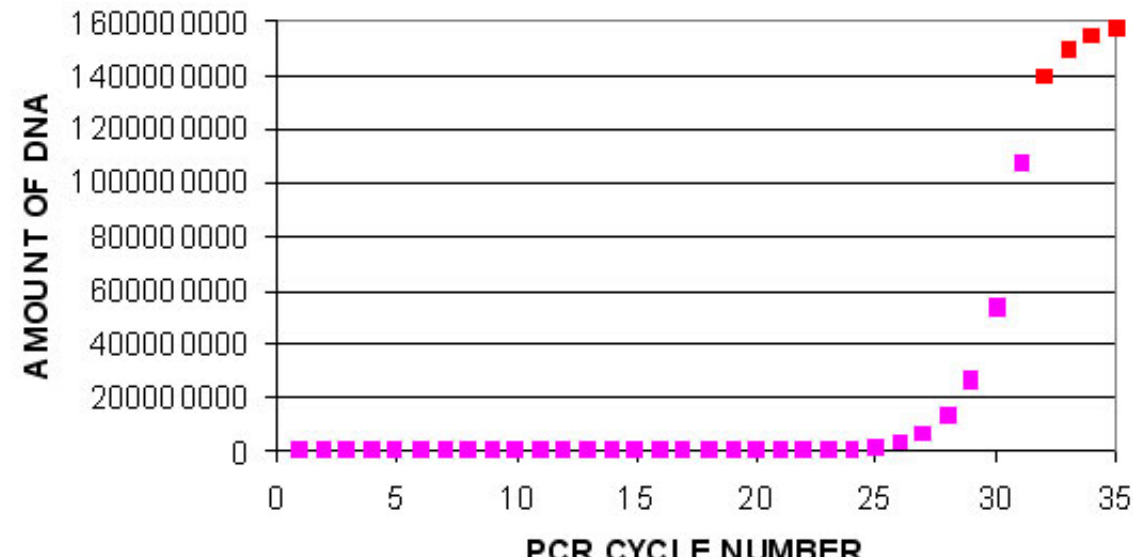
## Traditional cDNA synthesis



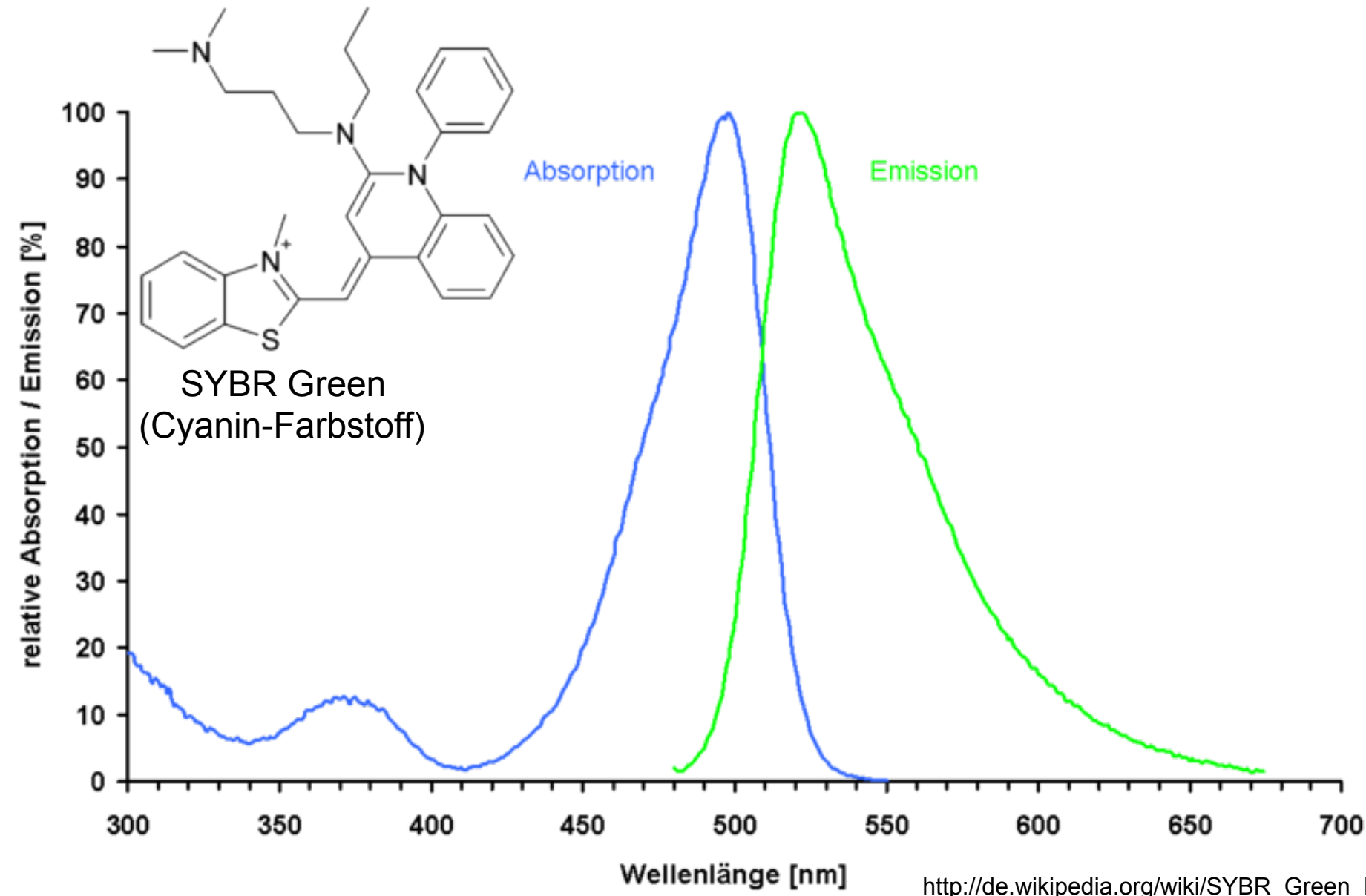
Synthesis of the first strand of cDNA using an oligo(dT) primer and reverse transcriptase.

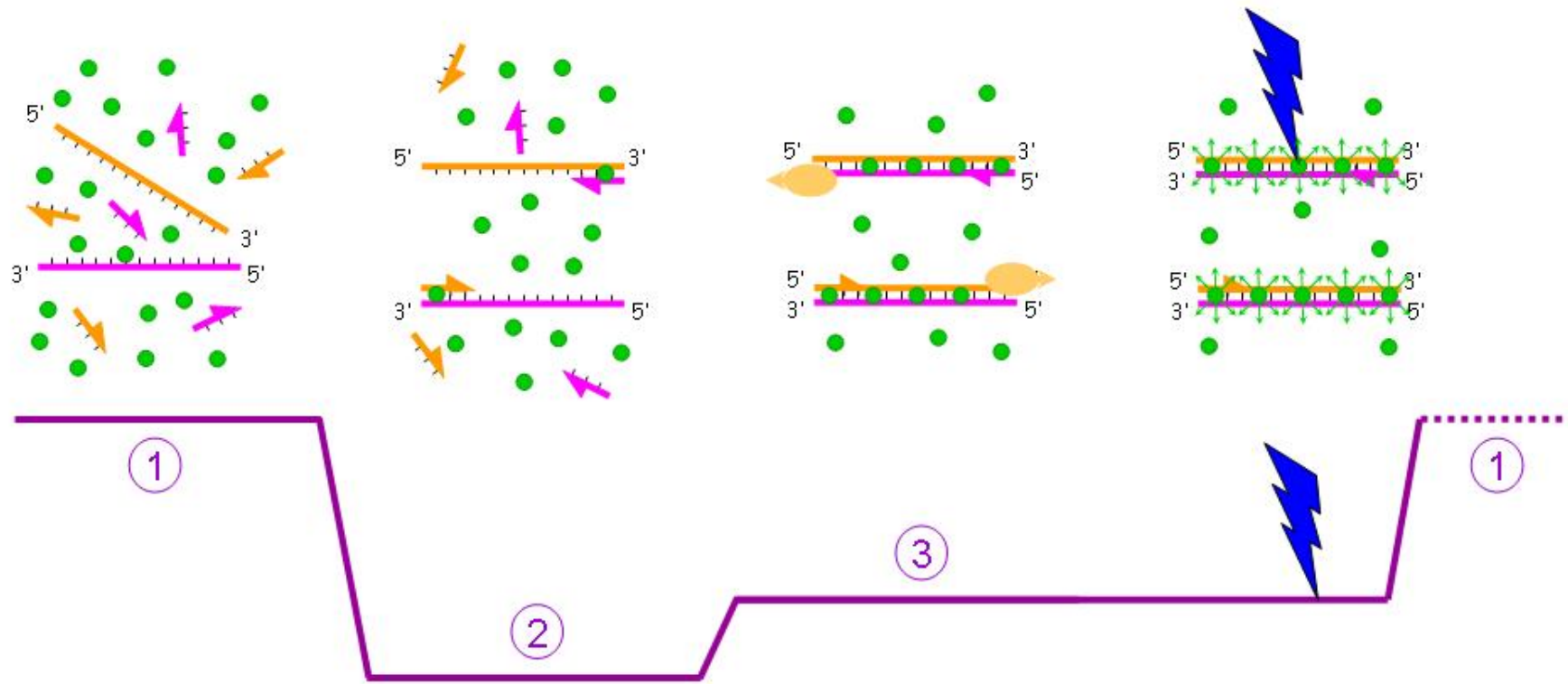
# DNA-Menge = Ausgangsmenge X (Effizienz + 1)<sup>Zykluszahl</sup>

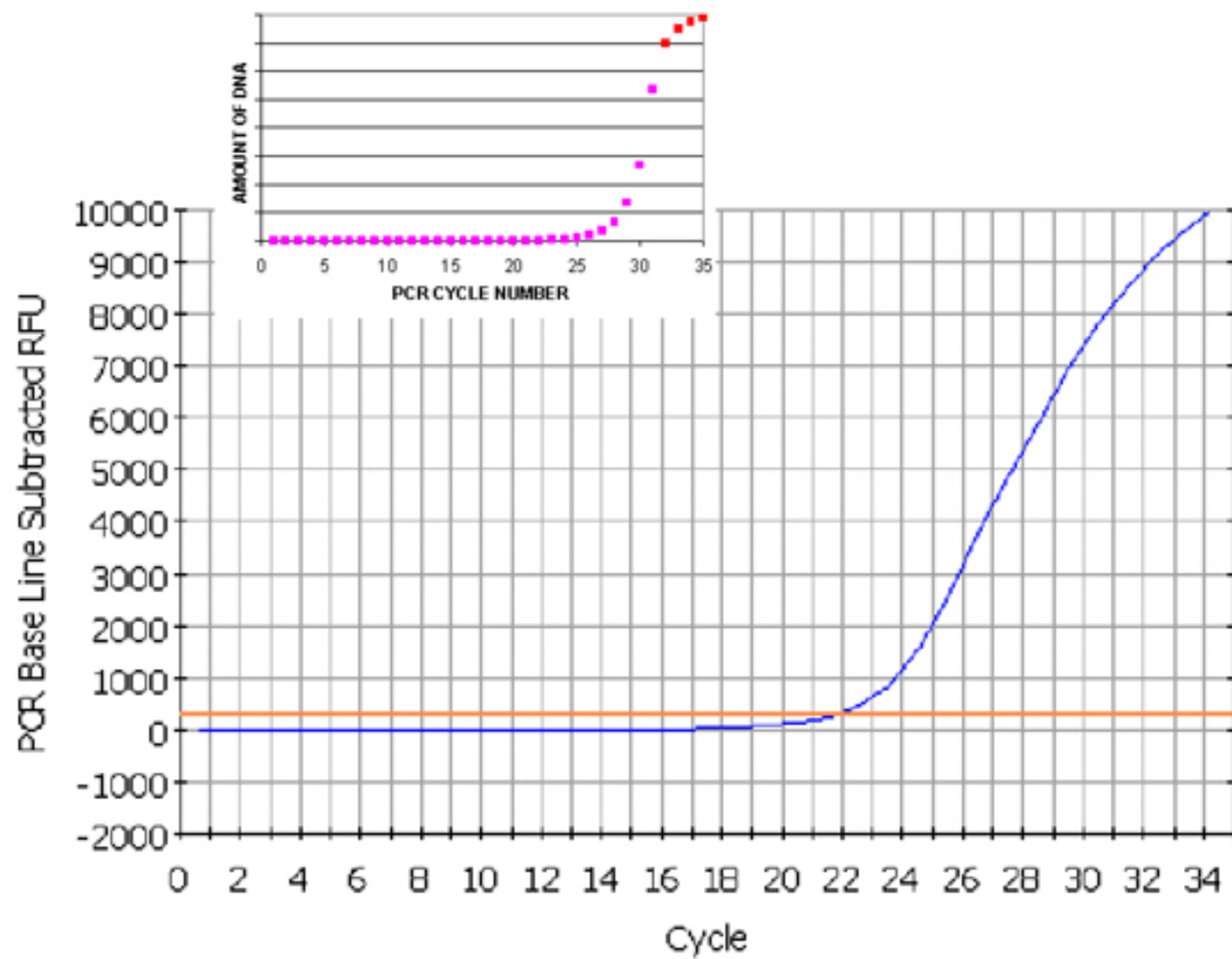
CYCLE NUMBER	AMOUNT OF DNA
0	1
1	2
2	4
3	8
4	16
5	32
6	64
7	128
8	256
9	512
10	1,024
11	2,048
12	4,096
13	8,192
14	16,384
15	32,768
16	65,536
17	131,072
18	262,144
19	524,288
20	1,048,576
21	2,097,152
22	4,194,304
23	8,388,608
24	16,777,216
25	33,554,432
26	67,108,864
27	134,217,728
28	268,435,456
29	536,870,912
30	1,073,741,824
31	1,400,000,000
32	1,500,000,000
33	1,550,000,000
34	1,580,000,000

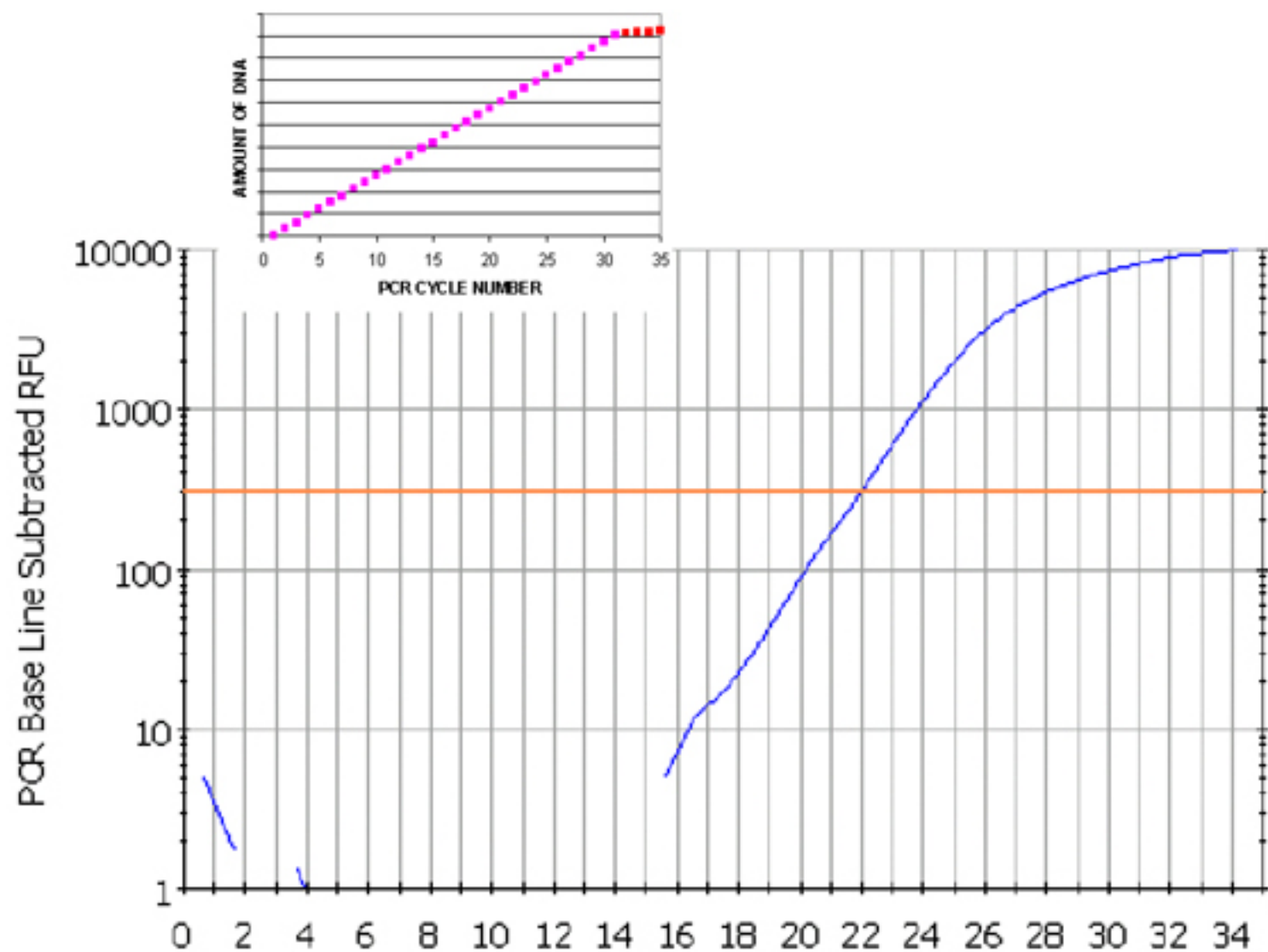


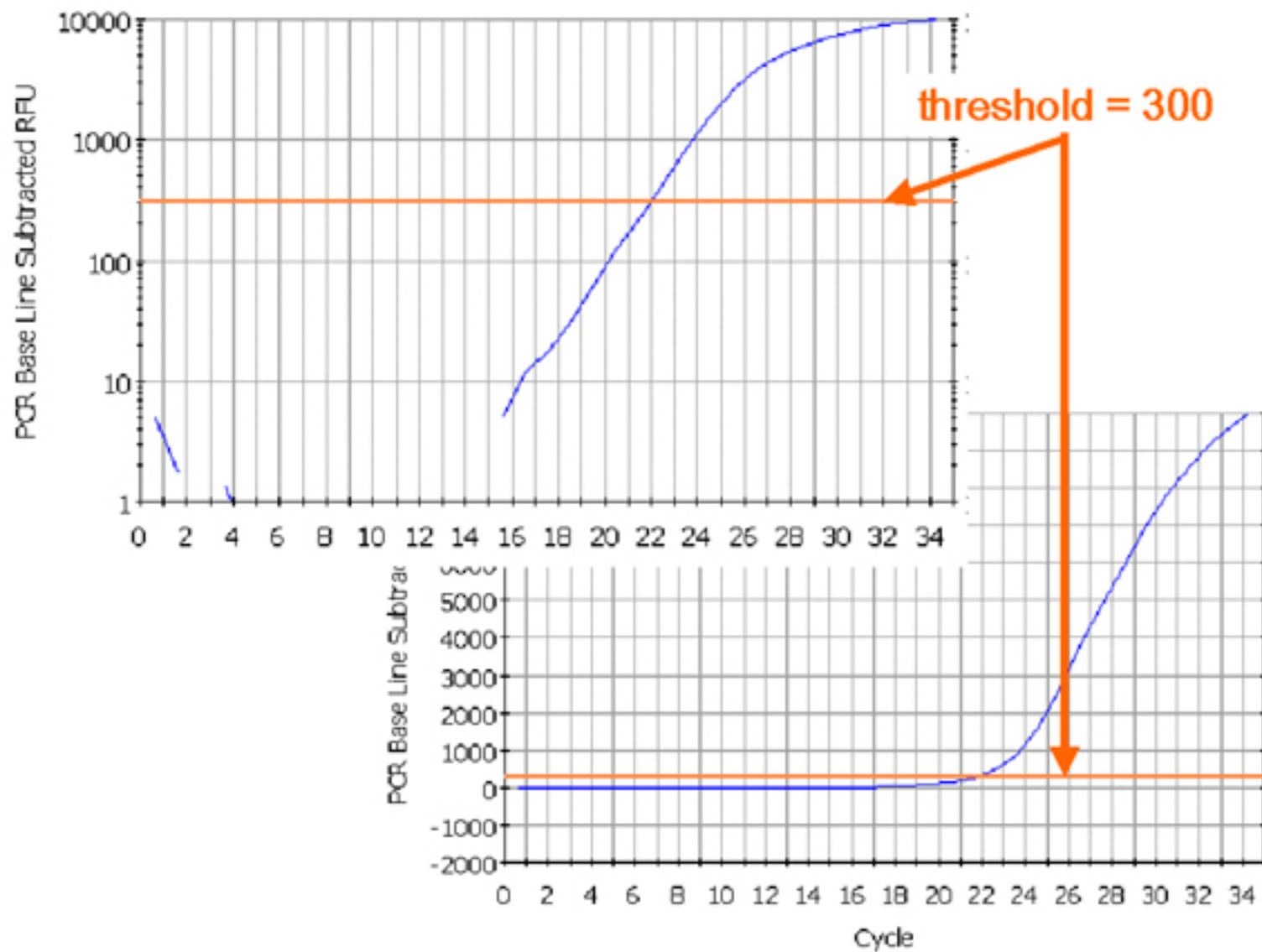
## SYBR Green bildet dsDNA-Fluoreszenzfarbstoff-Komplexe

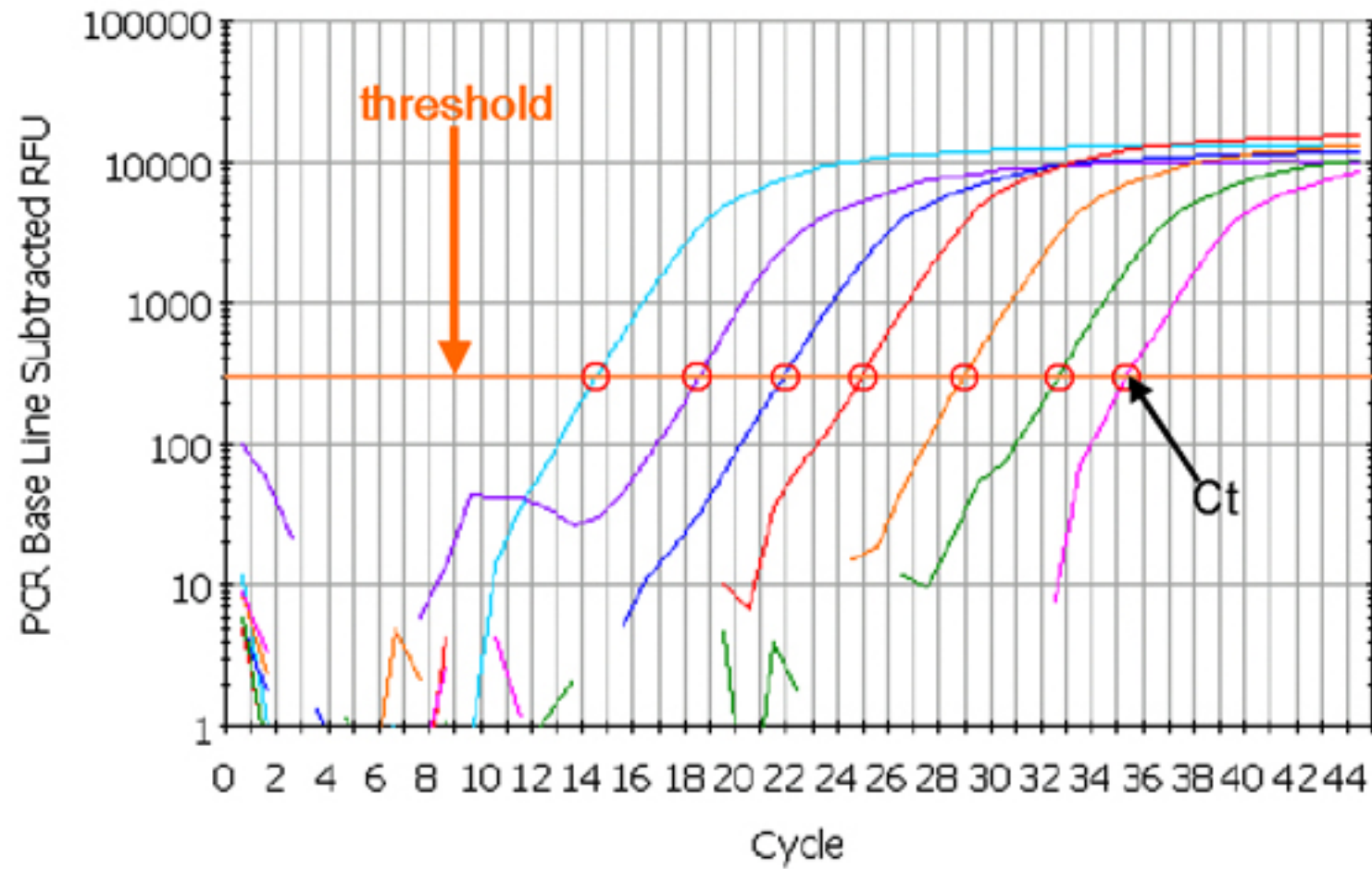






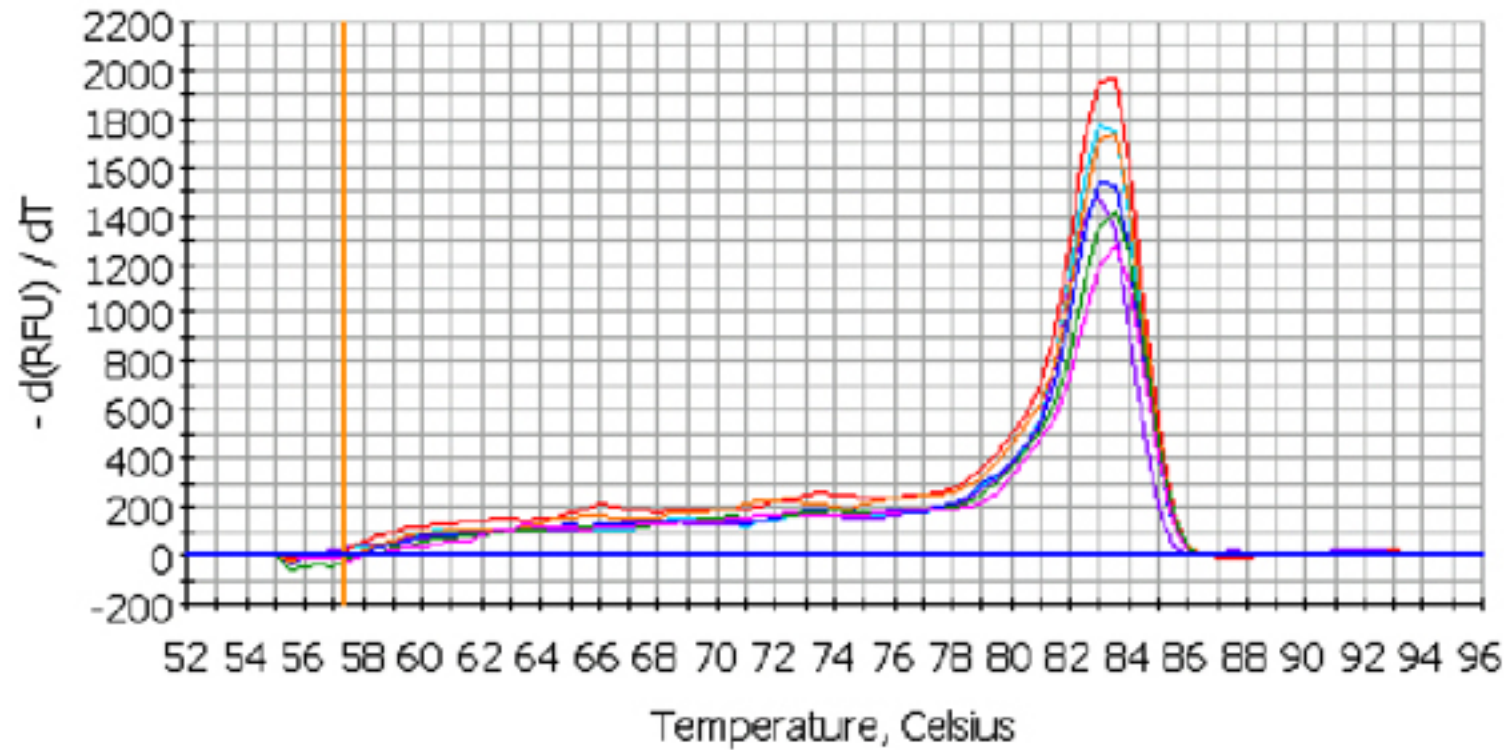




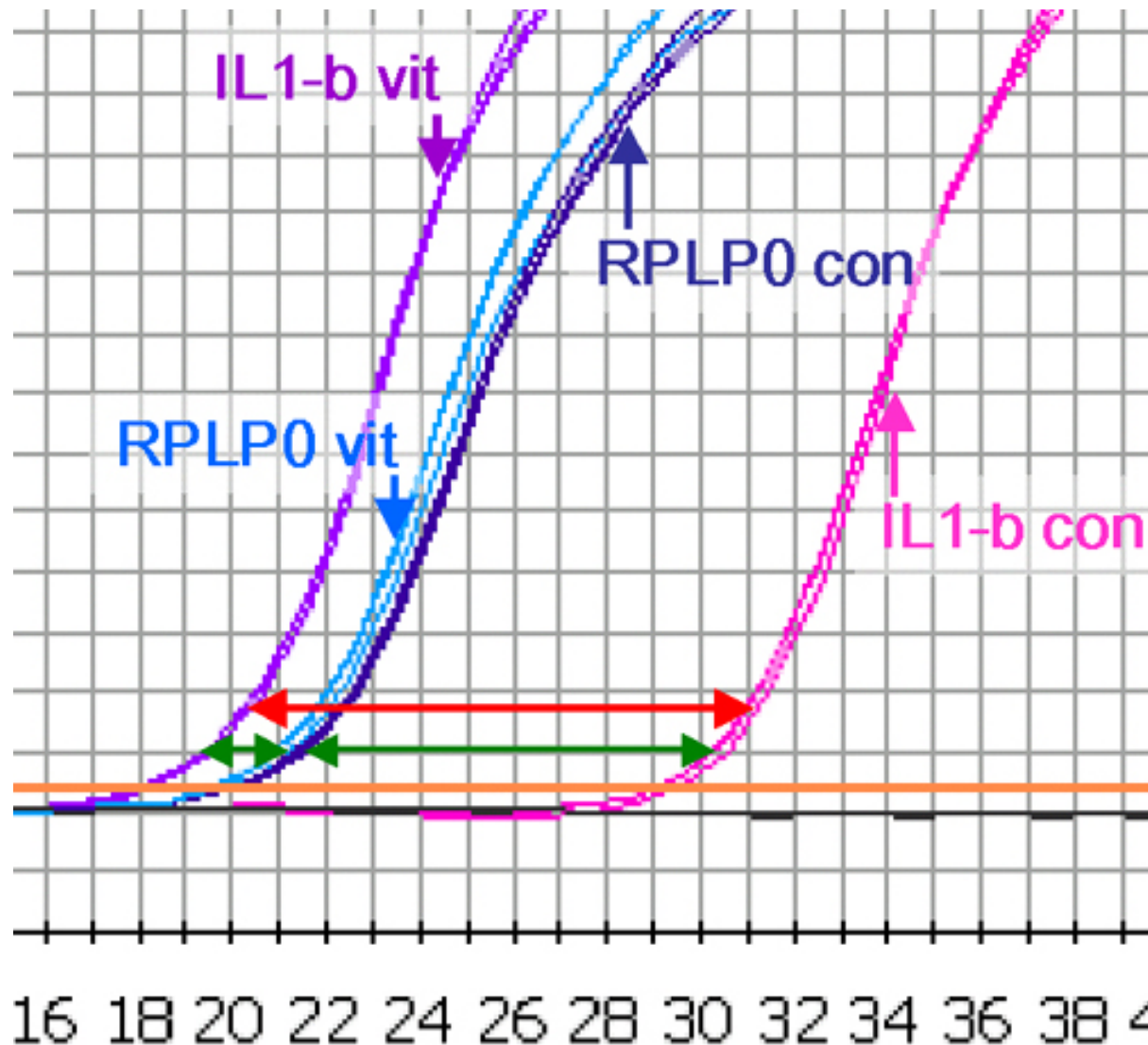


## SERIES OF 10-FOLD DILUTIONS

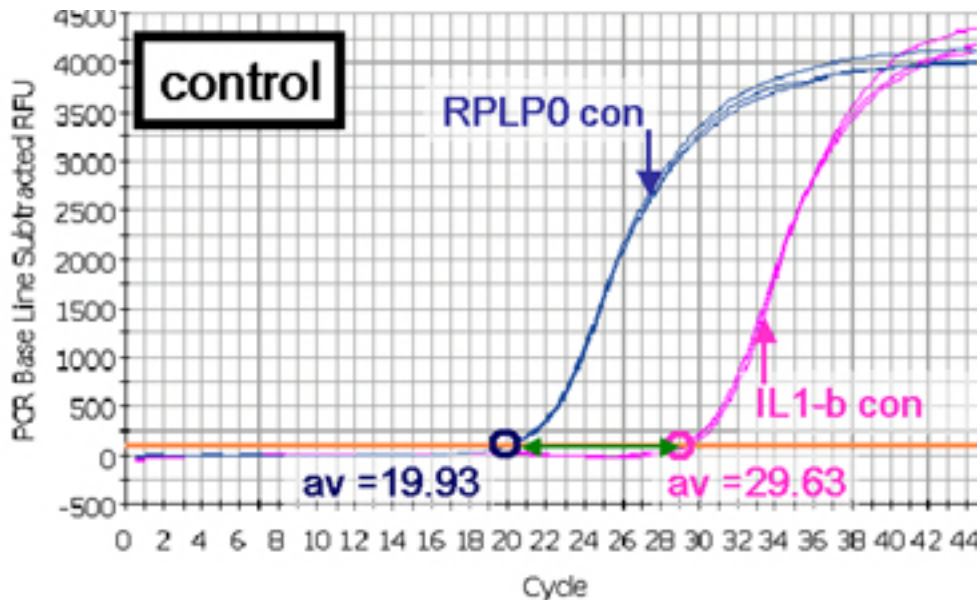
Die Ermittlung der „Schmelzkurve“ des gebildeten PCR-Produktes ist ein wichtiges Qualitätsmerkmal !



## Die $\Delta\Delta Ct$ -Methode

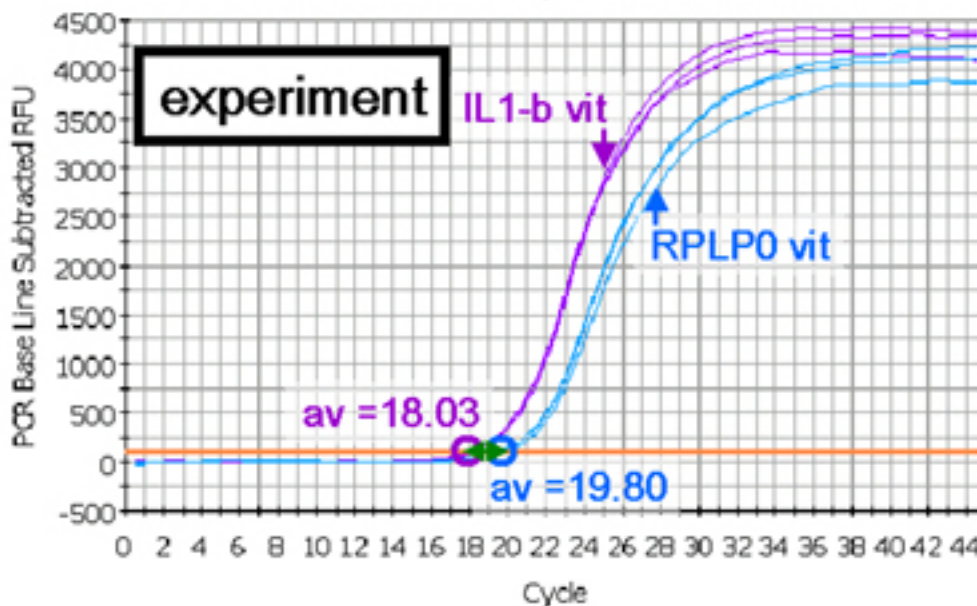


Bildung der  $\Delta Ct = \text{target} - \text{reference}$  für beide Ansätze (vit und con)



$$\Delta Ct = \text{target} - \text{ref}$$

$$\Delta Ct = 9.70$$



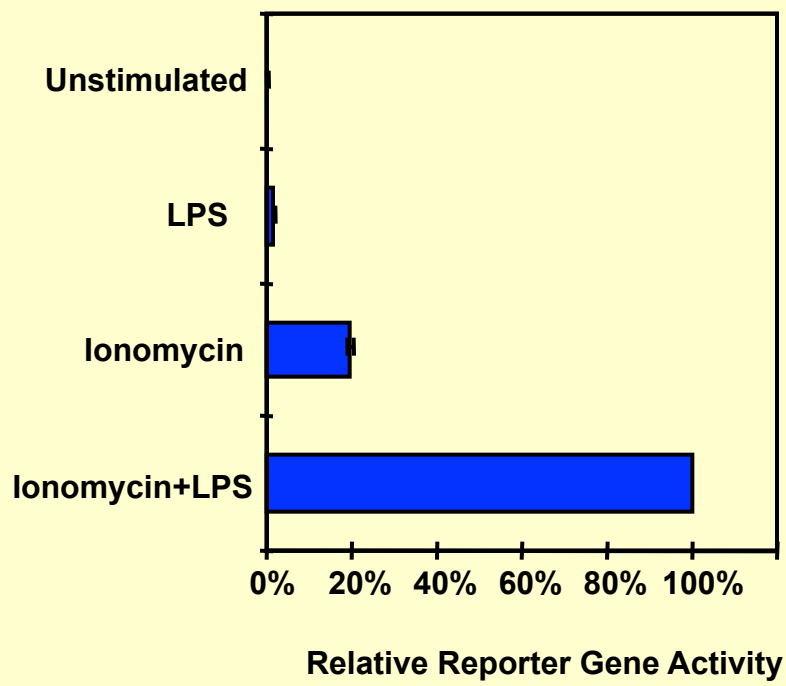
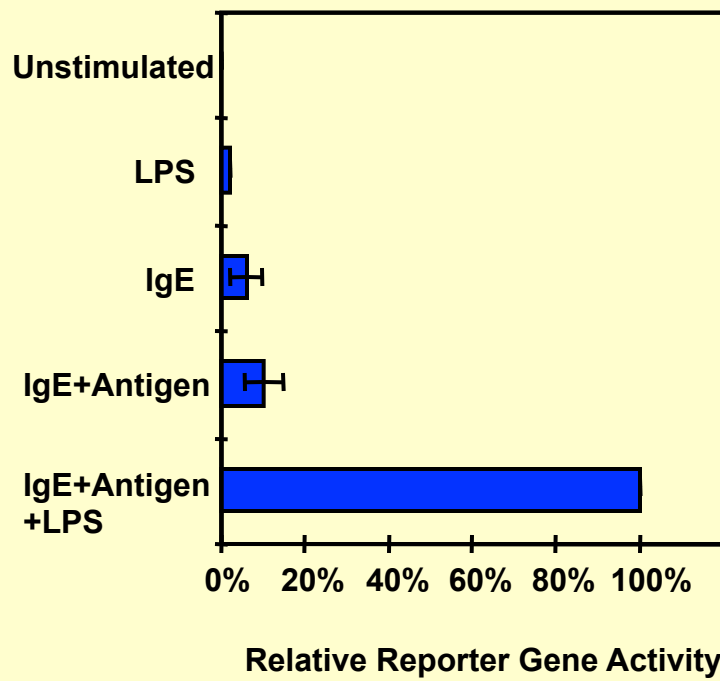
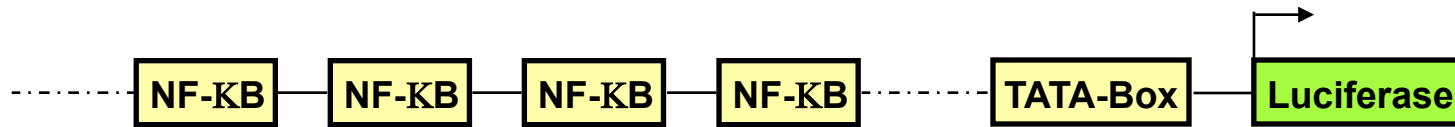
$$\Delta Ct = \text{target} - \text{ref}$$

$$\Delta Ct = -1.7$$

$$\begin{aligned}\text{Difference} &= \Delta Ct - \Delta Ct \\ &= \Delta\Delta Ct \\ &= 9.70 - (-1.7) \\ &= 11.40\end{aligned}$$

Unterschied in der Expression =  $2^{11.4} = 2702$

# LPS coactivates an NF-KB-dependent reporter gene in mast cells



# Prinzip des dualen Reportergenassays

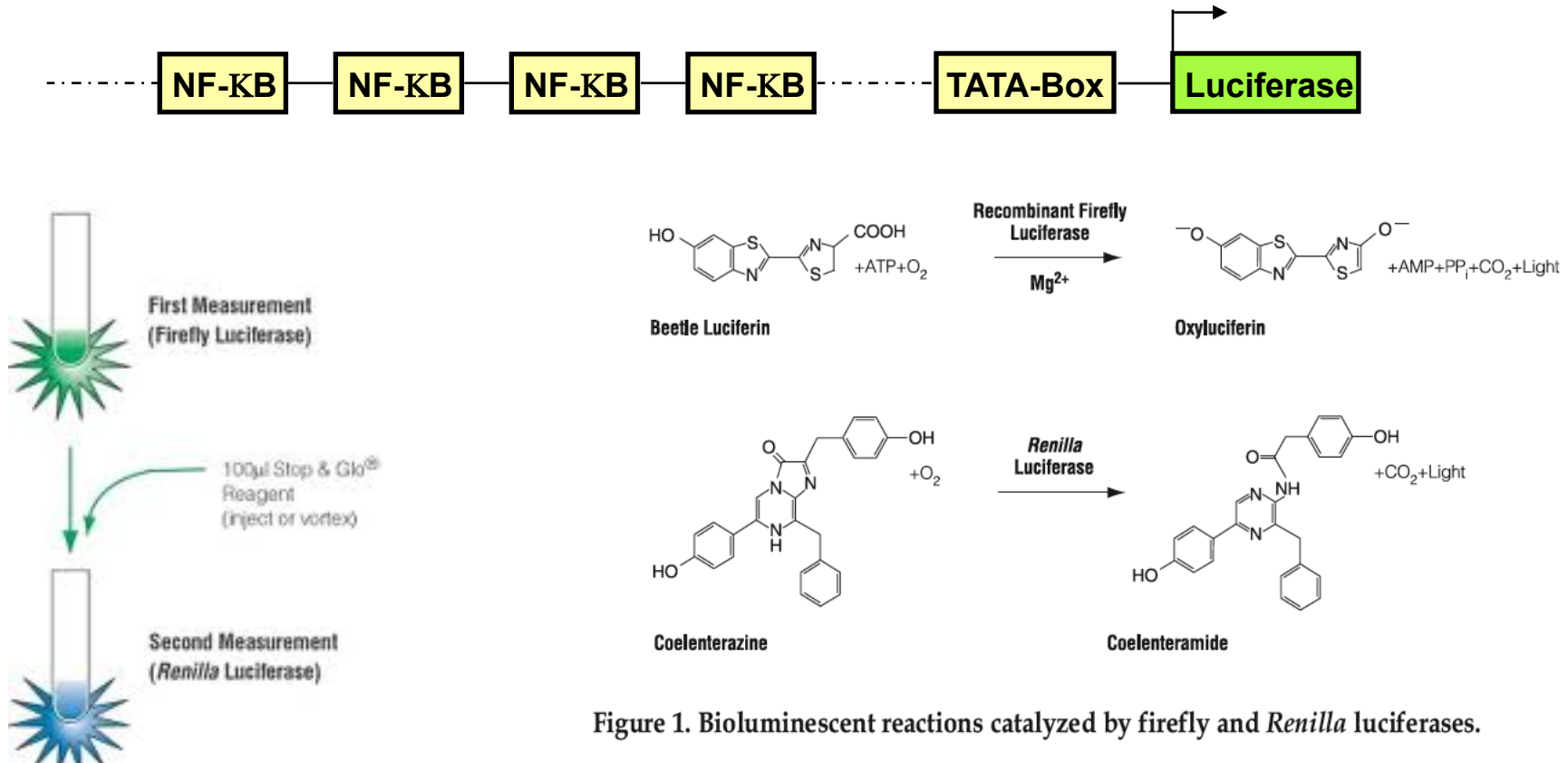
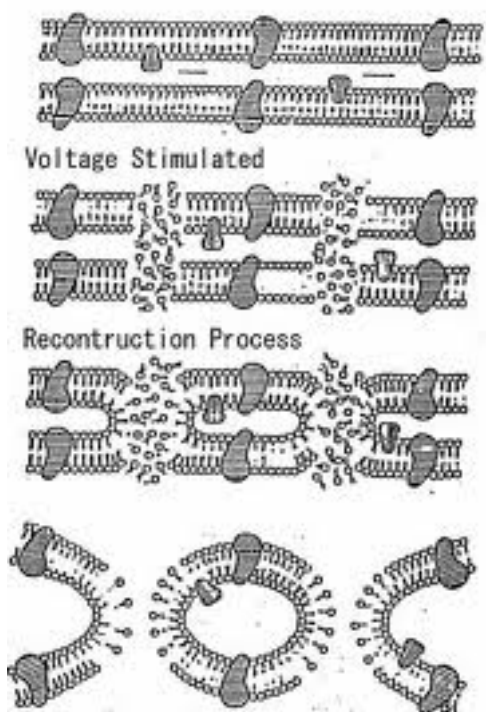


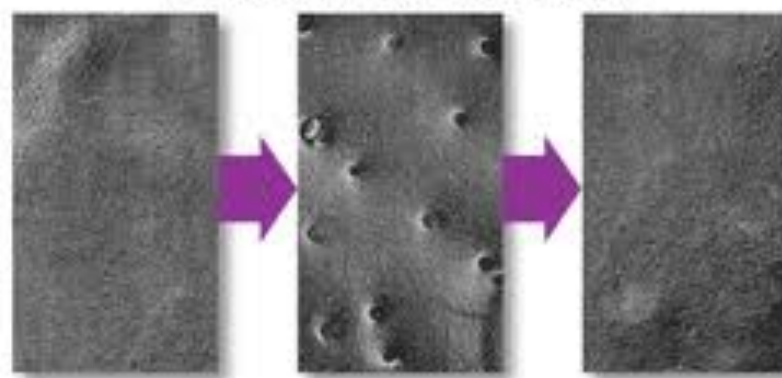
Figure 1. Bioluminescent reactions catalyzed by firefly and *Renilla* luciferases.



# Elektroporation



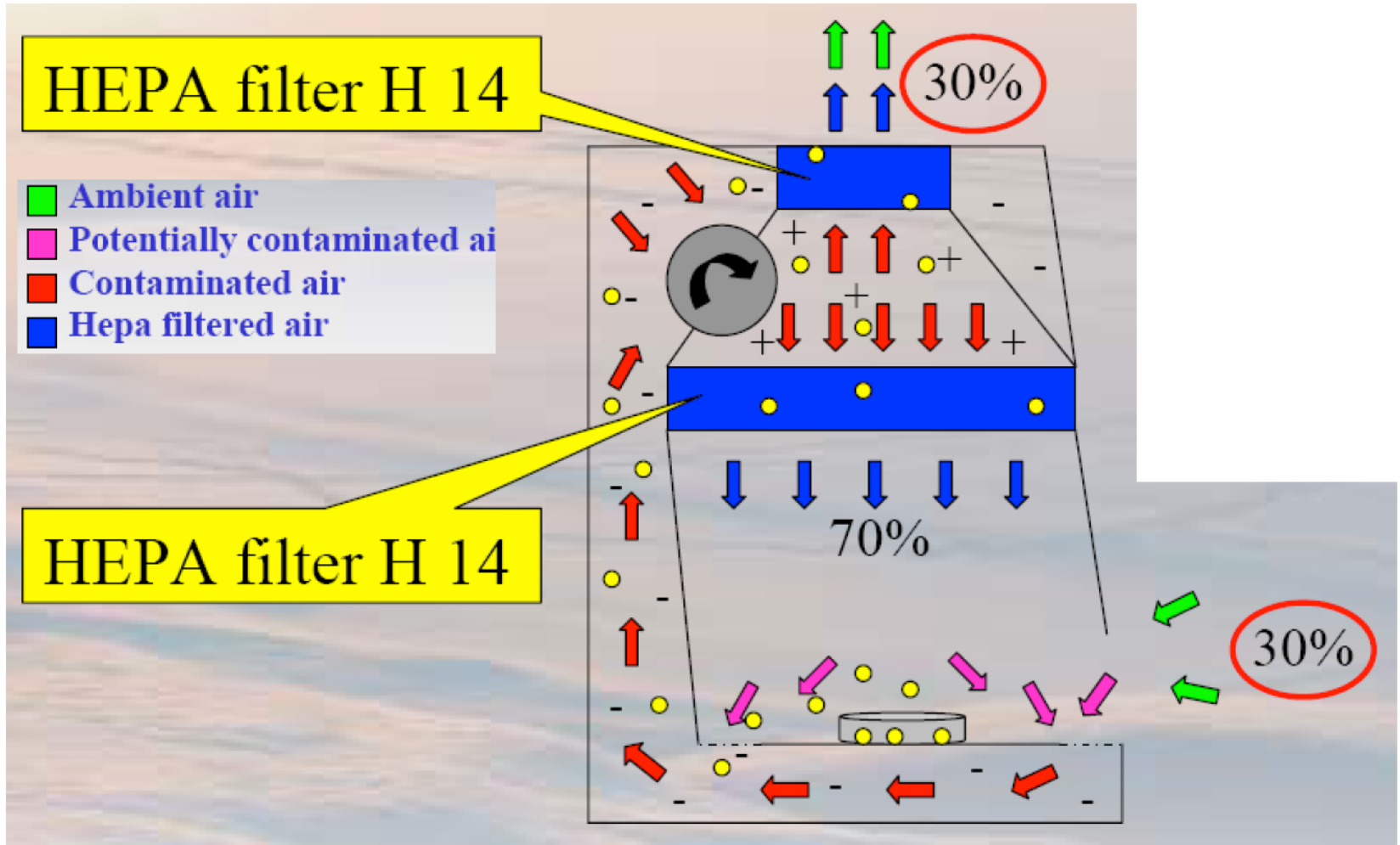
The phenomenon of electroporation



- Controlled, millisecond electrical pulses induce temporary pores in the cell membrane
- Cell membrane reseals and is left unharmed

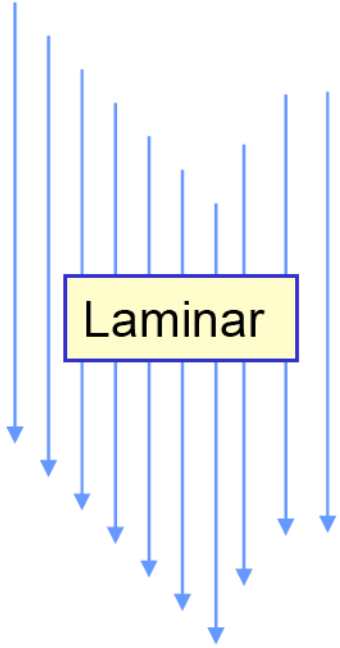


## Sicherheitswerkbank Klasse II (2-Filter-System): Lüftungsführung



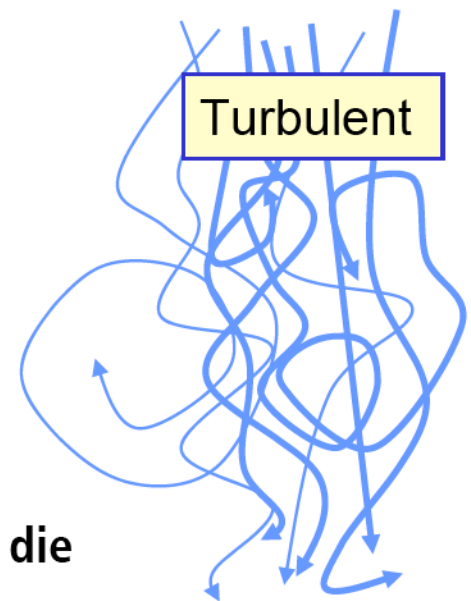
# Luftströmung

Kleine Partikel, insbesondere Schwebstoffe, folgen den Strömungslinien, werden von ihnen geleitet.



Die sicherheitstechnische Qualität von Reinstluftgeräten wird in den weitesten Grenzen von der Qualität der "laminaren Luftströmungparameter" bestimmt.

Ein besonderes Augenmerk ist deshalb auf die Aufrechterhaltung dieser konzipierten Strömungsparameter zu richten, die unter Umständen nur sehr empfindlich einzuhalten sind !



# Arbeiten an mikrobiologischen Sicherheitswerkbänken (MSW)

## GEFAHREN FÜR MENSCH UND UMWELT



- Kontamination von Personen, Probengut und Umwelt durch biologische Arbeitsstoffe und Bioaerosole
- Verschleppung biologischer Arbeitsstoffe
- Infektionen durch direkten Kontakt mit biologischen Arbeitsstoffen
- Gefährdung durch Kontamination mit Radionukliden, sofern damit in einer MSW gearbeitet wird
- Die MSW bietet keinen Schutz vor gesundheitsschädlichen Gasen!

## VERHALTENSREGELN UND SCHUTZMASSNAHMEN



- Die Kurzbedienungsanleitung muss bekannt und gut sichtbar an der MSW angebracht sein
- Den Arbeitsablauf genau planen
- Persönliche Schutzausrüstung (mindestens Laborkittel, Einmalhandschuhe, ggf. Schutzbrille) benutzen
- Die MSW einige Minuten vor Arbeitsbeginn einschalten, um stabile Strömungsbedingungen zu erhalten; Durchzug im Arbeitsbereich vermeiden, d.h. Türen und Fenster schließen
- Frontscheibe in Arbeitsposition bringen
- Arbeiten nur auf der ausgewiesenen Arbeitsfläche ausführen und diese nicht überfüllen. Die Luftansaugöffnungen müssen frei bleiben. Unnötige Gegenstände aus dem Innenraum entfernen
- Störungen der Luftströmung vermeiden
  - keine schnellen oder hektischen Armbewegungen
  - Einbringung sperriger Geräte möglichst vermeiden
  - Bunsenbrenner nur mit Tippschalter bzw. Näherungssensor verwenden
- Alle Geräte, die in den Innenraum eingebracht werden sollen, vorher reinigen und desinfizieren, nach Gebrauch wiederum desinfizieren und ggf. reinigen
- Regelmäßige Kontrolle der aseptischen Bedingungen innerhalb der MSW (z.B. durch Aufstellen von offenen Petrischalen mit Nährböden)
- Nach Beendigung aller Arbeiten und vor dem Abschalten der MSW alle offenen Gefäße schließen, infektiöse Gegenstände und Materialien in geeigneten geschlossenen Behältnissen unterbringen. Arbeitsflächen desinfizieren und säubern. Auswahl des richtigen Desinfektionsmittels gemäß Hygieneplan beachten. Bildung einer explosionsfähigen Atmosphäre durch alkoholhaltige bzw. brennbare Desinfektionsmittel vermeiden. MSW nach Abschluss der Desinfektion noch einige Minuten eingeschaltet lassen
- nach Arbeitsende Hände desinfizieren, waschen, Hautpflegecreme auftragen